

COS



1931

Dec

Declared

performed  
work

Z. Krist. 27, 411, 1931.

Dec-~~annual~~

OC 1.10 A

CS 1.96 A

1932

DCS

C.R. Bailey, A.B.D. Cassie

h.K

Proc. Roy. Soc. (L) 135, 375

[81] repy 8/2

IV

1532

COS (  $\lambda$  ),  $z$  c - s )

1932

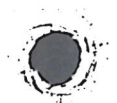
Ladler A., Zeitschrift N.F.B.

Physik 3. 1932, 33, 165-72

"Raman effect and molecular structure of some simple inorganic substances"

C.A., 1932, 2655

10



4

1933

ocs

C.R. Bailey, A.B.D. Cassie

u.k.

Proc. Roy. Soc. (2) 140, 695,

[81]

Apuntes

Nepe bog Beans



( COS, DCN ) BP-1530 - IV 1935

Bartunek P.E., Barker E.F.

Phys.Rev. 1935, 48, 516-21

"The infrared absorption spectrum

...

C.A., 1935, 7188<sup>6</sup>

10

CSO

OCS

P.C. Gross 40 Brockway

1935

J. Chem. Phys, 3, 821<sup>0</sup>-4

Инфракрасный метод  
OCS измерения.

$$Z_{CO} = 1.16 \pm 0.02 \text{ \AA}$$

$$Z_{CF} = 1.56 \pm 0.03 \text{ \AA}$$

1698

COS ( D, E. обрасованул ) 1938

Schmid R., Gerö L.

Math. naturw. Anz. ungar. Akad. Wiss.  
1938, 57, 637-51

"The energies of formation and  
dissociation of carbon compounds  
and radicals"

CSO 

C.A., 1939, 2035<sup>8</sup>

2100

Item 8  
8-кар

COS

B99 8670-IV

1939

Price W., Simpson D.,

"Proc. Roy. Soc.", (London)

A-169, 504, (1939)

(y. q.)

1941

ols

J. Wagner

Papan

Zs of Phys. Chem. 48, 309

[909]

repus-12

0-05

A. Zuccher, K. Schäfer

11942

Panman

Zs. f. Phys. Chem., B51, 60.

kurzer  
Kurzgefasst

[314a]

Зеруфен

OCS

Dakin W. Good W. E.

1946

Coles D. K.

Phys. Res 70, 560

M. B. Creasey.

ocs

Herschberger W.D.

1946

J. Appl. Phys., 17, 455-484

M. S. Chernoff

025

T.Y. Wu

1946

Код. черт. и сырье

индуст. мас-л. Michigan 1946  
202  
ис.

Пары Тунгский завод.

(не притен. пары)  
63



ОСС' 1947  
Даркин Т.В., Годов В.С. Колеба Д.К.

и.б.

Phys. Rev. 71, 6402, 1

Итого самое расхождение ОСС  
найденное из и.б. измерений.

$$\delta(S^{32}) = 24325,92 \pm 0,02 \text{ Mc/sec}$$

$$\delta(S^{34}) = 23731,33 \pm 0,03 \text{ Mc/sec}$$

10-02-56  
10-02-56

10

$$Z_{CO} = 1,1612 \pm 0,0058 \cdot 10^{-8} \text{ cm}$$

$$Z_{CS} = 1,5609 \pm 0,0049 \cdot 10^{-8} \text{ cm}$$

Надлежащий уровень  $137,9540 \pm 0,0001 \cdot 10^{-40} \text{ cm}^2$   
~~137,9540~~

1958

BrCN, ClCN, OCS ( $\omega$ ,  $\tau_{C-N}$ ,  $\nu_{\text{as-C}}$ ,  $\tau_{\text{cl-C}}$  1947.)

Townes C.H., Holden A.N., Merrit F.R.,

Phys.Rev. 1947, 71, 64

"Rotational spectra of some ...

CSO

J

Dec  
v. 6

Townes C.H., Merritt F.R.,

1947

Phys. Rev. 72, 1266

Ann. Rev

1951 [207]

DCS  
u.6

Hershberger W.D., Norton L.E.,

1948

RCA Review 9, 38

Ann, Ref  
1951, [102]

1948

OCs

J. G. Zelatis

$\mu$ .

J. Appl. Phys. 19, 419,

$$\mu = 0.720 \pm 0.005 \cdot D.$$

исслед. гудронитов. форменка.

Des

D. Rogers, D. Williams

1978

Phys. Lab. 74, 1889.

M. B. Sharp ~~интервью~~ ~~модель~~  
Des; Des и Br. C. A.

(советы).

CA 44  
6262i



OCS

A. Roberts

1948

Phys. Rev. 73, 1405M. B. Conroy. PLS $^{16}\text{O}^{14}\text{C}^{32}\text{S}$ :  $B_0 = 0,20159 \text{ cm}^{-1}$ 

$$J_{\text{obs}} \cdot 10^{-10} \text{ cm}^2 = 138,8$$

$$c_q (\text{Mc/sec}) = 6,7 \pm 0,1$$

$$c_{\text{O}_2} (\text{Mc/sec}) = -9,4 \pm 0,3$$

Oes Towner C.H., Geschwindigkeit. 1948

M.B. Phys. Rev., 74, 626

Ann. Rev.  
1951 [209]

1551

OCS ( $B_{000}, \tau_e, \omega_e$ ) 1948

ClCN ( $B_{000}, \tau_e, \omega_e$ ); BrCN ( $B_{000}, \tau_e, \omega_e$ )  
); JCN ( $B_{000}, \tau_e, \omega_e$ )

Townes C.H., Holden A.N., Merritt F.R.,  
Phys. Rev., 1948, 74, 1113-1133  
Microwave spectra of some ...

Ch. Abstr., 1949, 1658a

CSO

ols

D. Bianco, G. Matlack,

1979

A. Roberts

Phys. Res. 76, 473.

Myosin. range b m.b  
cure p.o.c s  $CH_2Cl$

CA 45

6071 e

DCS

Cohen V.W. Kaszi W.S neg

1949

Phys. Rev. 76, 703

Ann. Rev.

v. I 1950 Spectr. [1973]

1542

1949

OCS (V)

Low W., Townes C. H.

Phys. Rev., 1949, 75, 529-530

Oxygen <sup>17</sup> and sulfur <sup>36</sup> in the rotational  
spectrum of OCS

C.A., 1949, 414/c

OCS (re, de)

1550

1949

Strandberg M.W.P., Wentink T., Kyhl R.L.  
Phys. Rev., 1949, 75, 270-278.

Rotational absorption spectrum of OCS

C.A., 1949, 3293;

OCs

1949

Sprandberg M.W.P

Wentink F., Kyle R.L.

$z_{co} = 1.16$

$z_{cp} = 1.56$

Phys. Rev. 75, 270

Французский центр по физике  
OCs

Проблемы инфракрасной оптики  
Для переводов 1-2, 2-3, 3-4, 4-5

Ann. Rev.

VI 1950

Exp. Mol. Struct.

Включено также значение инфракрасной оптики и спектроскопии

из записей, как и определены для  $O^{16}C^{12}S^{32}$ ,  $O^{16}C^{13}S^{32}$   
и  $O^{16}C^{12}S^{34}$ , различать между собой. различия.

Равновесные масс. и инертные и мембранные  
различия не могут быть найдены, ф.к.

Уверена также одна из трех конст. групп.

Корреляции взаимодействия ( $\chi_2$ ). Соотношение

величин  $q_1$  для  $^{34}S$  изотопов. Измерен эффект  
различия в  $O^{16}C^{12}S^{32}$  и  $O^{16}C^{13}S^{32}$ . Найден эффект

момент

$$\mu = 0,732 \pm 1\% \quad O^{16}C^{12}S^{32}$$

$$\mu = 0,722 \pm 1\% \quad O^{16}C^{13}S^{32}$$

OCS

Eshback J. R., Hillger R. S.,

1950

m. b.

Jen C. K.

Phys. Rev. 80, 1106

Ann. Rev.

1951. [203]

DCS

Koski: W. S., Wendink T. Jr.,

1950

u. b.

Cohen V. W.

Phys. Rev., 77, 942

Ann. Rev.  
1951, [121]

005'

Low W., Townes C.H.

1950

Phys. Rev. 79, 244

Ферми Резонанс и суперос.

(Впервые отмечено вращение  
уровней резонанса на наблюдении  
спектр.)

oep

H. H. Nielsen

1950

Phys. Rev. 78, 296

Neoprene parent

карбоний излучения oep

$\lambda_c = 6.34 \text{ Mc/sec}$

CB 44

6724

OCS

Schulman R.G., Townes C.H.

1950

Phys. Rev. 77, 500 (1950)

Дипольное взаимодействие  
и эффект Зеемана. II. Эффект Зеемана  
в OCS.

Дипольное взаимодействие  
магнитов и ядер, которое определяет

Amer. Rev. v. 1

1950 Spectrosc. [1033]

и в результате  
интерференции

Успешно размещены во Франк.  
Минус  $y = 1 \rightarrow 2$ . Значения  $y$  для  $01012532$   
равно  $0,7085 \pm 0,004$  Д. и  $01534$ ,  $013532$   
суммарно.  $y$   $\approx 0,7085$  без учета минуса  $y$   
на  $0,2\%$ .

$^{16}\text{C}^{2}\text{S}^{32}$

$$Z_{\text{C-O}} = 1,1632$$

$$J_0 = 138.0 \cdot 10^{-40} \frac{1950}{2 \text{ cm}^2}$$

$$Z_{\text{C-S}} = 1,5586$$

$$\mu_{\text{C-O}} = 0,7085 \text{ D}$$

$$\mu_{\text{C-S}} = 0,752$$

- 94 Cohen V. W., Laski W. S. *Phys. Rev.* 76 703, 1949.
- 101 Townes C. H., Merritt F. R., Kildan A. W. *Ph. Rev.* 74 1113, 1948.
- 103 Shulman R. G., Townes C. H. *Phys. Rev.* 77 500, 1950.
- 112 Strandberg M. W. P., Wendink J., Kyhl R. *Ph. Rev.* 75 270, 1949.

Ann. R. V. I.  
1950. Spectroscopy.

$0^{16}$   
 $C^{12}$   
 $S^{32}$

[5.33, 197, 333]

$$B_0(\text{мггч}) = 6081,494 \pm 0,010$$

$$D(\text{кгч}) = 1,27 \pm 0,05$$

$$\alpha_1(\text{мггч}) = 18,12$$

$$\alpha_2(\text{мггч}) = -10,59$$

$$q(\text{мггч}) = 6,39 \text{ погрешная (удвоенная)}$$

Торда

Радискино

Des

Callomon, McLean,

1951.

и.к.

Thompson;

сильно  
изучен

Proc. Roy. Soc (D) A208, 341

группы

И У В С О С и С<sub>2</sub>Н<sub>2</sub>.

Вновь изучен - сильно  $CO_2$  и  
одна из новых группировок изотопов  
молекулы.  Наиболее вероятная  
нахождение в смеси

изучен  
влияние

каждый день



ols  
u.B.

Gen C.K.

1951

Phys. Rev., 81, 197

Ann. Rev

1951 [1951]



OCd

Johnson C.M., Tramborno P.

1951

м.б.

✓ Gandy W.

ссылка

Д."

Phys. Rev., 84, 1178-80

"

М.б. интерференция в области  $\lambda$  2 до 3 мкм. Табл 4.

$\Delta \lambda$  (к/с)  $\lambda \pm \Delta \lambda$

$\lambda_0 = 6081,494$

Можно измерение - та же форма: переход в обл. 2-3 мкм. Для ряда линий выполнено  М найденный знак средства уменьшения различия

OCd  
 $\lambda_0 = 6081,494$

и прочие значения Врауца, каждые

	Значения $D_J$	Врауца	каждые
ОС	наш. $1,27 \pm 0,05$	4-ая Крауца	Ф. де Нельсен
		1,35	1,32

Лин. молекулы, Врауца, каждые де Нельсен.  
 Сос. коаб. и де Нельсен.

$$B_0 = \frac{1}{8\pi^2 J_B^0} \quad \nu = 2B_0(J+1) - 4D_J(J+1)^3$$

$D_J$  - центробежная постоянная.

X42 мис. Крауца  
 Nielsen N.H.

$$D_J = 4B_0^3 / \omega^2$$

$$D_J = 4B_0^3 (\sum_1^2 \omega_1^2 + \sum_3^2 \omega_3^2)$$

$\sum_1$  и  $\sum_2$  - все раскоб важно коаб мис

OCs.

D. Z. Robinson

1951

J. Chem. Phys. 19, 881-6

Измерен. инф. ир-спектров  
ч.к. колеб. частоты  
IV Измерение валентных  
колебаний OCs и CS<sub>2</sub>.

$$\nu_1 = 855 \quad \nu_3 = 2072 \text{ см}^{-1}$$

CA 46  
342c.

Кривые ● инф. анализ  
Классиф.  $\frac{\nu_1}{\nu_3}$

005

Thomas W. J.

1951

J. Chem. Phys. 19, 1162.

Параметры колебания  
линейных трехатомных  
молекул.

Приводятся частоты,  
силы, постоян. и моменты  
расстояния

сдв  
2950

Вейс II, 147.

0.14  
13/11

CS 2050,5 }  
863,4 }

Wu T.Y. Koenig. *Microb. res.* 4  
1946, Michigan. *Exp.* 157, 158

Сред. воз.

$$f_{xy} = 15,68$$

$$f_{yz} = 7,20$$

$$f_{xz} = 1,15$$

$$r_{co} = 1,161$$

$$r_{cs} = 1,560$$

Gordon, Townes, Holden  
Meritt *Phys. Rev.*

74, 113, 1948.

Квантовая сред. воз.

Знамен. числа Вернера  
каждый шаг

$$f_{co} = 15,216$$

$$f_{cs} = 7,401$$

$$f_{xz} / \text{сред. воз.} = 0,602$$

Glockler. *Ann. Phys.* 43

J. Ch. Ph. 13, 388, 1945

cos

Wentink T. Jz, Koski W.S,

1951

Cohen V.W.,

Phys. Rev. 81, 296A, 948

Масса  $S^{35}$  из н.в. измерений.

Переход  $\gamma = 1 \rightarrow 2$  в подложке  $OS$   
где содержится  $S^{34}$  и  $S^{35}$   
наблюдается. Из найденных  
защит, рисунок  защит и ранее  
известную защит  $S^{34}$   $S^{35}$  и  $S^{32}$

Алгоритм наших ограниченных масс

$$\frac{S_{35} - S_{32}}{S_{34} - S_{32}}$$

и

$$\frac{S_{35} - S_{32}}{S_{33} - S_{32}}$$

Из этих величин и значений фактической  
массы  $S$  расчетных независимых знач.  $S_{35} - S_{32}$   
равные соответственно

$$2,99844 \pm 0,00042 \text{ и}$$

$$2,99770 \pm 0,00048$$

Dec

J.R. Eschbach, R.E. Hillger,

(1952)

M.W.P. Strandberg

Phys. Rev. 85, 532-9.

Resonance energies  $S^{33}$  as measured.

M. G. Mayer OCS

$$e_{\text{p}}/Q = 0.16 \text{ c } S^{33} = -29, 0 \pm 1.0 \text{ MeV/} S^{33}$$

CA 46

5432c

OCS

Kislun R. P. Townes C. H.

1952

m.b.

WBS Wash. circ. no 518.

Creep.

OCS

Teitelbaum S.J.

1952

И. В.  
Смирнов

Phys. Rev. 88, 272.

Влияние энергии OCS и H<sub>2</sub>O.

Исследования влияния энергии на переходы  $J=3 \rightarrow 4$  OCS и  $J=1 \rightarrow 2$  H<sub>2</sub>O. Копии изданий. Содержат: Наблюденные результаты сравнительно с ранее известными.

Влияние энергии на форму спектра, вращение и другие моменты.

$0^{16}C^{12}S^{32}$

$\beta_0$

$$6081,466 \pm 0,013$$

$\alpha_1$

$$20,56 \pm 0,04^a)$$

$\alpha_2$

$$-10,594 \pm 0,0022$$

$$-10,573 \pm 0,009$$

$$\alpha_3 = 52,6^a)$$

$$q_e = 6,344 \pm 0,018$$

a)  $\beta_{\text{ср}} = 6081,466$   $\alpha_2 = 10,594$

ols

King W.C., W. Fordy

1953

u.6.

Phys. Rev. 90, 319-20.

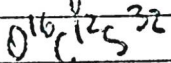
1-2  $\mu$  мезоцисма I.

DS.aff 1,37 - 2,3  $\mu$  м.

(220-130000 Mc/sec).

Hydrogen

CA 1953



$\rightarrow B_0 = 6081,490 \text{ Mc/sec}$

9154d.

$D_3 = 1,294 \pm 0.005 \text{ Mc/sec}$

1953

$AB_2, BAC$   
 $CO_2$

H. D. Walsh J. Chem. Soc,  
21, 2260-6

Спектр многоатомных  
молекул.

005

1954

Bitz G. R., Tolkes C. K.

Phys Rev 94, 1203-08

серия связи и характерное  
ионизационное кросс-сечение,  
серия и резонансы

Шуцовой.  
Силефосконы  
OCS'

Burrows Ch.  
Gordy W.

1954.

Phys. Rev. 93, 14, 887.

Силефосконы на субмикрон-  
метровом диапазоне.

Можно отметить линию с  $\lambda = 0,77 \mu\text{m}$   
(389 кМгц) ● Наблюдается в флуор.  
линии OCS'

Область дна воян в 1 м и шее  
по фреймуну. 20 поворота шидыо  
возь очень слабые поам. в-ва.  
при слабом давлении.

Возь поамовалеель яредной  
воамовода объеме 0,2 см<sup>3</sup>

при дав.  $1 \cdot 5 \cdot 10^{-3}$  мм рт. ст.

длинн поамоводь обнаружены  
при давении  $5 \cdot 10^{12}$  мон. ОСС.

des

B. Burne M.W.P. Strandberg 1954

u.b.

Phys. Rev. 93, 193-4

Измеренная масса  $5.25$   
из у.б. из измерения.

Измеренная масса  $1.20 \pm 0.04$

Измеренная масса  $2.90 \pm 0.04$  Mc/sec.

CA

1954

des per ●  $2.90 \pm 0.04$  Mc/sec.

6246 g

1531

1954

COS ( $\nu_i, \nu_o, B', B'', \alpha, D, B_e, r_{CO}, r_{CS}$ )

Callomon H.Y., Thompson H.W.

Proc. Roy. Soc., 1954, A222, N1151, 431-443

(anne.)

Vibration-rotation bands and molecular constants of carbonyl sulphide.

XXX, 1954, N<sup>o</sup>22, 477-748.

10

2

1954

DCS

W. Goedi

J. Phys.adium 15, 521-3

Спектроскопия в области  
длины волн 1-5 мкм

Результаты для DCS!

Des

W.C. King, W. Gordy

1954

D<sub>2</sub>

Phys. Rev. 93, 487-12, 1954.

1538-14

1-2 mm. spectroscopy

IR, interferometer. Measured and calculated

for CCl2, CH3F and H2O.

CCl2:  $D_2 = 1.310 \pm 0.010$  Kc/sec.



использована следующая формула.

CA 1954

62584

CO<sub>2</sub>

Langseth A,

1954

J. Phys. casimir 15, 17-8-961

И.к. спектры и спектры  
комбинационного рассеяния  
простых линейных молекул  
CO<sub>2</sub>, COS, CS<sub>2</sub>.

Красное письмо гонимых по вере  
гусар.

Иск. отн. 3-25 пр.

Надпись в;

Вискупил. г. и. и.

назв. ст. и.

OCs

M. Peter, M.W.P. Strandberg

1954

Phys. Rev., 95, 622

M.B. Chapp OCs

EA 956-50  
10509h



1954

COS

T. Wentink.

CO<sub>2</sub>

Diss Abstr. 14, 1942

CS<sub>2</sub>

и др.)

Колед. спектры 3<sup>х</sup> ат. мин.

молекулы содержащих

C, O, S, Se и Te.

ОСЗ

1955

Маботинский А. Ф.

Успехи химии 1955, 24, 730

Радиоспектроскопия и  
строение молекул (обзор,  
около 130 ссылок) имеются  
данные для групп связи  
и менамом. расставленные

ам СО.

025-

Low W.

1955

Phys. Rev. 97, 1664. 7

Резонанс в м.в.  
сигнале инвертирующей ХЧД. мол.

Измерен. мол. д. для разл.  
модов. сигналов в м.в. сигнале  
OCS и OCSe показыв. несов.

CA 49-1955  
7983 f.

Consistency

ди расхожд. обратного в связи с  
наименее взаимно. Конес. уровни  
С. иванг. NOS.  $v_1, v_2, v_3$  и  $v_1 - 1, v_2 + 2, v_3$ .  
резонанс прямо рина, разбавленная  
Фрими-рез. над. ринне в УСН  
на рае иог. взаимно. значу. дельте

OCs

C.H. Townes, A.H. Shawlow | 1955

micro.

6. u. l.

5. 2. 2.

Microwave Spectroscopy

McGraw-Hill Book Company,  
Inc., New York.

OCS

1955

White R. L.

Revs. Mod. Phys.,

27, 276-88.

Сверхтонкая магнитная  
спир-ра, связанная с квантом  
его орбитального  
углового момента мал-л  
в  $\pm \Sigma$ -состоянии.

COS

M. Cowan, W. Gardy

1956

HJ

Phys. Rev. 104, 551.2

CO

н.б. энергетический в спектре  
область.

COS

$J_{35 \rightarrow 36}$  486184,2 Mc/sec  
 $J_{41 \rightarrow 42}$  510457,3 Mc/sec

CAS 1957  
4M6 B

HJ  
CO

$J_0 \rightarrow 1$   
 $J_2 \rightarrow 3$



$\nu_0 = 1,61270 \times 10^6$   
 $\nu_0 = 1,60904 \times 10^6$   
345803 Mc/sec

OCS ( $\gamma_i, B_0, D_0, z_{ij}$ )

1529

1957

Allen H. G., Peyer E. K., Blaine W. R.

J. Chem. Phys., 1957, 26, 52, 400-403 (англ.)

Инфракрасный спектр OCS

2

РМХ, 1957, ~~№~~ 18, 59946

10

1620

1957

CSe<sub>2</sub>, CS<sub>2</sub>, COS

Treiber E., Gierer J., Rehnström J.,  
Almin K.E.

Acta chem.scand., 1957, 11, N 4,  
752-753 ( )

Uv- und IR - absorption von ...

PX., 1958, N 6, 16799

C50

OCS.

1958.

Costain C.C.

"J. Chem. Phys."

1958, 29, (4), 864-

On the ... effect...

Am. J. Chem. Phys. 1521

9074; BP-456-III

CO<sub>2</sub>, CS<sub>2</sub>, COS, N<sub>2</sub>O (3)

1958

Tanaka I., Jussa A.S., LeBlanc F.J.,  
J. Chem. Phys., 1958, 28, N 2, 350-  
351 (АНТ)

КОМБИНИРОВАННОЕ ПОСЛЕДОВАТЕЛЬНОЕ  
ПРОХОЖДЕНИЕ ПРОВОДНИКОВ МОНОСЫХ CO<sub>2</sub>, CS<sub>2</sub>,  
COS, N<sub>2</sub>O.

ЖЛ., 1959, N 5, 14285

10

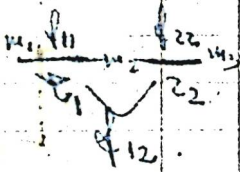


2011.14

Oct.	D. manus A.	1959
	↓	
	Phys. Rev., <u>116</u> , 351, 1959.	
	Французский перевод	
	↓	
	$J=1 \rightarrow 2$ в OCS.	

OCN

CCN  
BCN



1959

Jones W. J., Orville-Thomas W. J.  
Drik U.,

J. Chem. Soc. 1959, 1625-7

Сильные координаты и центральное равновесие в OCS, CCN и BCN. ☒

CA 53, 1959  
N14, 12769

Кубоведение  газификация и метаб. расщ.  
Расщепление сильных координат.

$m_1, m_2, m_3, z_1, z_2 \rightarrow f_{11} \text{ и } f_{22} \text{ и } f_{12}$ .  
 Мого распра. описат в [J. Ch. Ph., 1951, 19, 1162]

Два гбухаг. моалунд  $D = 16\pi^2 \beta^3 \mu / f$ , мурелла

Два моалунд моал.  $D$  забавунд оу 3х мововор моалунд  
 Wilson [3] вьибил соарн. Вледа оокуно могоалунд моалунд

$$\chi_{\beta\delta} = -\frac{1}{2} \sum_{i,j} \frac{1}{\omega_i \omega_j \omega_\beta \omega_\delta} \left[ \frac{\partial^2 \chi}{\partial z_i \partial z_j} \right] \left[ \frac{\partial^2 \chi}{\partial z_\beta \partial z_\delta} \right] (f^{-1})_{ij}$$

Два мун. 3х мов. моал.  $D = -2h^4 / (6h^4 \epsilon^4)$ . и

$$\chi = \frac{h^4}{128\pi^4 \epsilon^4} \left[ \left( \frac{\partial^2 \chi}{\partial z_1} \right)^2 (f^{-1})_{11} + \left( \frac{\partial^2 \chi}{\partial z_2} \right)^2 (f^{-1})_{22} + 2 \left( \frac{\partial^2 \chi}{\partial z_1} \right) \left( \frac{\partial^2 \chi}{\partial z_2} \right) (f^{-1})_{12} \right] \text{ etc}$$

1544

1959

OCS, ClCN, BrCN ( СИЛ. ПОСТ. )

Orville-Thomas W. J., Orlik U.,  
J. Chem. Soc., 1959, Apr.,  
1625-1627

Силловые постоянные и центробежное

...

РХ., 1960, N 23, 91279

CSO

Des  
 Morgan Jones, Draville - Thomas, Opik (1959)

clean  
 basin

$$\frac{2J}{2z_1} = 2u_1 \left[ \frac{(u_2 + u_3)z_1 + u_3z_2}{u_1 + u_2 + u_3} \right]$$

$$\frac{2J}{2z_2} = 2u_3 \left[ \frac{(u_1 + u_2)z_2 + u_1z_1}{u_1 + u_2 + u_3} \right]$$

$$(f^{-1})_{11} = \frac{f_{22}}{f_{11}f_{22} - f_{12}f_{21}} \cdot (f^{-1})_{22} = \frac{f_{11}}{f_{11}f_{22} - f_{12}f_{21}}$$

$$(f^{-1})_{12} = \frac{-f_{12}}{f_{11}f_{22} - f_{12}f_{21}}$$

исследования в урне ради.кажд. с.м.исл. коэф. Д и факт  
с теорет. коэф. (м.в.) -

Табл. 1.

	$\nu$	$z_1$	$z_2$
CCN	2201	729	1,630
BCN	2187	580	1,789
OCN	2064	859	1,161

Табл. 2.

$f_{11}$	$f_{22}$	$f_{12}$ ( $\times 10^5 \text{ гинт}^{-1}$ )	Иссл.	$D \cdot 10^{-3} \text{ Mc/sec}$	$D_{\text{теор}}$
$17,6 \pm 0,12$	$18,45 \pm 0,10$	$1,33 \pm 0,01$	$^{35}\text{CCN}, ^{37}\text{CCN}$	1,662; 1,600	1,663; 1,609
$1,00 \pm 0,02$	$17,76 \pm 0,10$	$0,70 \pm 0,01$	$^{23}\text{BCN}, ^{81}\text{BCN}$	0,8811; 0,875	0,8811; 0,875
$15,35 \pm 0,10$	$7,32 \pm 0,04$	$0,96 \pm 0,01$	OCN	1,310	1,310

a) Durvas, Gordy Phys. Rev. 1956, 101, 599

OCS

T

Sarkena G. D.

1959

Diss. Abs., 1959, 20, 701.

Каноническое возмущение и молекулярный погр. и нек. alk-полимер OCS

 $\nu_0$  $\beta^1 - \beta''$  $\delta^1 - \delta'' \cdot 10^{-9}$ 

002 4101,384 -0,002424 -1,15'

041 4141,216 -0,000032 +20,87

301 4609,842 -0,002998 +0,34

221 4773,222 -0,001493 +2,60

203 6117,572 -0,003618 -3,35'

$$\alpha_3 = 0,001212 \approx 0,02.$$

005 | | Saxena G.D., Wigdors T.A., Ramey B.H. 1155

J. Chem. Phys., 1959, 31, 13, 839.

Молекулярные колебательные  $\nu_2$   
и кристаллические взаимодействия

(рассуждения в терминах

$$(\nu_1, \nu_2, \nu_3) (\nu_1 - 2, \nu_2 + 2, \nu_3)$$

для 5 колебаний, измеренный в  
наблюдениях ● разное значение

Во созвездии с измеренными Алленом, Рубин-ом  
 и Blaine [3] с погреш  $\pm 0,044 \text{ см}^{-1}$ . Габаритные  
 показатели, что 012 понос Аллена в гетто-линейном  
 явлении 301 понос. При же понос весьма близки  
 криво как не удались катодов 2-вещи, которая  
 была бы у понос 1-го. Среднее отклонение в В  
 для при измеренных для 5 пона  $= \pm 0,00003 \text{ см}^{-1}$ . Излучения  
 в пона Аллена и др. с погреш  $\pm 0,00003 \text{ см}^{-1}$ . Резонансы  
 в пона 002 и 003 см. Абсолютные расстояния в пона  
 кажутся

понос	понос	отклонение	$\alpha_3 = 0,001212 \text{ см}^{-1}$
002	4106,384	$-0,002424$	$\alpha_1 - \alpha_2 = 10^{-3} \text{ см}^{-1}$
041	4141,216	$-0,000032$	$-1,15$
101	4603,842	$-0,002998$	$+20,87$
221	4773,222	$-0,001493$	$+0,34$
303	6117,572	$-0,003618$	$+2,60$



очень точно  
 ч.к.ч. измерения

-3,35

1959

OCS

Verdier P. H., Wilson E. B.,

N<sub>2</sub>O

J. Chem. Phys., 1959, 30, 1372-73

шлюпки  
нагрузки

Работа с шлюпками на грузе -  
ных шлюпках на грузе и -  
ных шлюпках на грузе и -  
данном

Курс OCS и N<sub>2</sub>O.

Формулы

Центробежное разделение

найдены при шлюп. м.в. шлюп. м.в. шлюп. м.в.  
шлюп. м.в. шлюп. м.в. шлюп. м.в.  
шлюп. м.в. шлюп. м.в. шлюп. м.в.

шлюп. м.в. шлюп. м.в. шлюп. м.в.  
шлюп. м.в. шлюп. м.в. шлюп. м.в.  
шлюп. м.в. шлюп. м.в. шлюп. м.в.

$$4-\text{ms } 2V = f_{11}z_1^2 + 2f_{12}z_1z_2 + f_{22}z_2^2 \quad \text{msi}$$

$$m_3^2 x_3^2 f_{11} + m_1^2 x_1^2 f_{22} + 2m_1 m_3 x_1 x_3 f_{12} = h m_1 m_2 m_3 \nu_1 \nu_3 / 8 B^4 M \quad (1)$$

$$m_3 (m_1 + m_2) f_{11} + m_1 (m_2 + m_3) f_{22} - 2m_1 m_3 f_{12} = 4\pi^2 m_1 m_2 m_3 (\nu_1^2 + \nu_3^2) \quad (2)$$

$$f_{11}f_{22} - f_{12}^2 = 16\pi^4 m_1 m_2 m_3 \nu_1^2 \nu_3^2 / M \quad (3)$$

via OCS: -  $B_0 = 6081,494 \pm 0,010 \text{ mc}$   $D_0 = 1,310 \pm 0,010 \text{ kcal}$

$\bar{\nu}_1 = 859,1 \text{ cm}^{-1}$ ,  $\bar{\nu}_3 = 2062,22 \text{ cm}^{-1}$  [6]

$2c-0 = 1,1637$ ,  $2cs = 1,5584$  [7]

for  $\nu_{cs}$ :  $f_{c0} = 16,06$ ,  $f_{cs} = 7,05$ ,  $f_{12} = 1,252 = 10^5 \text{ g cm}^{-1}$ .

[5] King W.C., Gordy W., Phys. Rev. 93, 107, 1954.

[6] Callomon, Thompson Proc. Roy. Soc. (L) A222, 431, 1954.

[7] Gordy, Smith, Tambarulo M.B. chemphyschem. 1953.

DCS!

Wentink T.

1959

J. Chem. Phys., 30, 51, 105-115

Интересные кин. исследования, содержащие C, O, S, Se и Te.

II Потенциальный контракт.

DCS наиболее развитыми нашими  
экономическими. Калломоком и др.  
Proc. Roy. Soc (S)

A208, 344, 1951. —

A222, 243, 1954



OLS

$$\sigma_1 = 859$$

$$\omega_1 = 876$$

$$\sigma_2 = 524$$

$$\omega_2 = 530$$

$$\sigma_3 = 2064$$

$$\omega_3 = 2091$$

Используем метод по OLS!

$$\omega_3 = \sigma_3 - 2\chi_{33} - \chi_{23} - \frac{1}{2}\chi_{13}$$

OLS  $\sigma_3 = 2064$ ;  $\chi_{13} = -5$

$$\chi_{23} = 11$$

$$\chi_{33} = 7$$

$$\omega_3 = 2091$$

$\sigma_i$  - непосредственно измеренные значения или вычисленные значения, ширина с учетом Ферми-возможности

$\omega_i$  - нулевая газета, подогнанная ширина  $\sigma_i$  с учетом апар. возможности

$$\chi_{11} = -4,0 \quad \chi_{13} = -4,5$$

$$\chi_{22} = -0,4 \quad \chi_{23} = -11,5$$

$$\chi_{33} = -7$$

$$\chi_{12} = -6,8 \quad \chi_{11} = 3,2$$

1960

COS

Tanaka Y., Jursa H.S., LeBlanc F.J.

Решение вопроса о наличии  
наименьшей линейной  
трехатомной молекулы,  $\text{CS}_2$ ,  
 $\text{COS}$  и  $\text{N}_2\text{O}$ . - J. Chem. Phys.,  
1960, 32, 4, 1205-1214.

ВФ-457-III

op. 1961. 3B101

(См.  $\text{CS}_2$ ) III

COS

BΦ-7403-IV | 1961

(Bo, Io, Ro)

Brown J. K.,  
Cox A. P.

Spectrochim. acta, 1961,  
17 (12), 1230-39

COS( J, T<sub>c</sub>)

1532

1962

Clement E.

J. Chem. Phys., 1962, 36, n3, 750-752 (corr.)

Ground state SCF-LCAO-MO wave function  
for the carbonyl sulfide molecule.

2

Pac & Co., 1962, 2061B

10

2

ВФ-406-IV.

1962

0cs

Kuehitsu Kozo, Iijima Takao,  
Morino Yuzo

Internat. Sympos. Molec. Struct.  
and Spectrosc., Tokyo, 1962.

( $\text{Cn} \cdot \text{CO}_2$ ) III

S. I. S. A. C308/1 - C308/4 (англ)

Физическое значение потенциал  
них констант ангармоничности  
для  $3^x$  атомных молекул.

X. 1963. 15.

OCS (  $\mu, \angle$  )

260

1962

Laurie Victor W., Herschbach Dudley R.

The determination of molecular structure from rotational spectra.

"Internat Sympos. Molec. Struct. and Spectrosc. Tokyo. 1962". S. 1., s. a., C309/1-C309/4 ( *Ann.* )

Pp., 1963, 4D156

40

ОСЗ

ВФ-1543-IV

1962

7 Б126. Колебательно-вращательные полосы окиси углерода. Maki Arthur G., Plyler Earle K., Tidwell, Eugene D. Vibration-rotation bands of carbonyl sulfide. «J. Res. Nat. Bur. Standards», 1962, A66, № 2, 163—167 (англ.)

Исследован колебательно-вращательный спектр окиси углерода в области  $1890-6100 \text{ см}^{-1}$  и определены с большой точностью частоты линии тонкой структуры. Для идентификации «горячих» полос спектр исследовался при разных  $t$ -рах. Некоторые линии в спектре приписаны  $\text{O}^{16}\text{C}^{13}\text{S}^{32}$ ,  $\text{O}^{16}\text{C}^{12}\text{S}^{34}$  и  $\text{O}^{18}\text{C}^{12}\text{S}^{32}$ . Произведен расчет вращательных постоянных. Обсуждается вопрос ангармоничности колебаний. А. Бобров

X. 1963. 7

1962

BP-1543-IV

CS  
CO<sub>2</sub>

Vibration-rotation bands of carbonyl sulfide. Arthur G. Maki, Earle K. Plyler, and Eugene D. Tidwell (Natl. Bur. of Stds., Washington, D.C.). *J. Res. Natl. Bur. Stds.* A66, 163-7(1962). Thirty-two infrared absorption bands were measured, 17 for the first time. Seven absorption bands due to isotopic mols. were also measured. Rotational consts. were detd. and the evaluation of the anharmonicity consts. is discussed. James O. Wear

C.A. 1962.57.2

1762h

OCS

1962

1 Д138. Колебательно-вращательные полосы OCS. Maki Arthur G., Plyler Earle K., Tidwell Eugene D. Vibration-rotation bands of carbonyl sulfide. «J. Res. Nat. Bur. Standards», 1962, A66, № 2, 163—167 (англ.)

11-3251-669

На спектрометре с разрешением до  $0,03 \text{ см}^{-1}$  в области  $1890—6100 \text{ см}^{-1}$  исследован спектр поглощения молекул OCS в газообразном состоянии. Была использована многоходовая кювета с длиной пути 8 м; в качестве приемников радиации служили охлаждаемые фотосопротивления PbS и PbSe. Проведен вращательный и колебательный анализ спектра и определены вращательные и колебательные постоянные OCS и ее изотопич. замещенных (с  $\text{C}^{13}$ ,  $\text{O}^{18}$  и  $\text{S}^{34}$ ), а также частоты, соответствующие основным колебаниям OCS: 520, (41), 858, (954) и 2062, (220)  $\text{см}^{-1}$ . Обсуждается изменение постоянных ангармоничности в зависимости от методов расчета.

О. Гирин

ф. 1963. 19

OCS

Maier W.

1963

1037

"Berichte der Bunsengesell."

ч. в.  
спектр.

1963, 67, N 6, 539-54.

COS

(I, 2e, 4, 1A)

BD-9883-IV 1963

Sugden T.M.

"Endeavour", 1963,  
22 (87), 129-33

1964

COS

гос

Акзиче Д, Кезман Л, Кезман Р.

М.Ф.В.Р.Г. 4(1964)863 (6) Notes

спектр. и многократ.

спектр мощности ионной плазмы

полезн

образованной при электрическом

испыт

разряде через COS.

При мощном электр. разряде

возникает колонка, которая

не соответствует никакой известной

в-ву,

O<sup>16</sup>C<sup>12</sup>S<sup>32</sup>

4 Д82. Расчет коэффициентов ангармоничности с помощью констант взаимодействия вращения и колебания. Burden F. R., Millen D. J. Anharmonic potential constants from vibration-rotation interaction constants. «J. Molec. Spectrosc.», 1964, 14, № 1, 97—99 (англ.)

1964

Рассмотрен метод расчета кубич. коэф. ангармоничности с помощью постоянных взаимодействия вращения и колебания  $\alpha_i$ , которые связаны с вращательными постоянными молекулы уравнением

$$B_v = B_e - \sum_i \alpha_i (v_i + g_i/2).$$

Метод может быть применен лишь к ограниченному числу молекул из-за отсутствия эксперим. данных. Расчет линейных молекул XYZ можно осуществить, если известны нулевые частоты, силовые постоянные, необходимая информация для учета резонансных возмущений Ферми и полный набор постоянных взаимодействия вращения и колебаний  $\alpha_i$  по крайней мере для двух изотопных разновидностей. Подобный расчет проведен для молекул O<sup>16</sup>C<sup>12</sup>S<sup>32</sup> и O<sup>16</sup>C<sup>13</sup>S<sup>32</sup>, а также HCN и DCN.  
А. Ивлев

ф. 1965. 42



OCS

1964

11 Б39. Расчет коэффициентов ангармоничности с помощью констант колебательно-вращательного взаимодействия. Burden F. R., Millen D. J. Anharmonic potential constants from vibration-rotation interaction constants. «J. Molec. Spectrosc.», 1964, 14, № 1, 97—99 (англ.)

Рассмотрен метод расчета куб. коэф. ангармоничности с помощью констант колебательно-вращательного взаимодействия  $\alpha_i$ , которые связаны с вращательными постоянными молекулы по ур-нию  $B_v = B_0 - \sum_i \alpha_i (v_i + g_i/2)$ . Указанный метод, однако, может быть применен лишь к ограниченному числу молекул ввиду недостаточности эксперим. материала. В принципе такой расчет может быть применен к линейным молекулам XYZ, если известны нулевые частоты, силовые постоянные, необходимая информация для учета резонансных возмущений Ферми и полный набор постоянных взаимодействия вращений и колебаний  $\alpha_i$ , по крайней мере для двух изотопных разновидностей. Подобный расчет проведен для молекул  $O^{16}C^{12}S^{32}$  (I) и  $O^{16}C^{13}S^{32}$  (II).

~~расчет~~ $\omega_i$ 

ж. 1965. 11



Для надежности расчет  $\alpha_i$  проведен двумя независимыми путями. Нулевые частоты для HCN и DCN заимствованы из других работ. Были получены следующие значения нулевых частот: для I  $\omega_1=876,5$ ,  $\omega_2=536,6$ ,  $\omega_3=2093,6$   $\text{см}^{-1}$ ; для II,  $\omega_1=871,2$ ,  $\omega_2=520,7$ ,  $\omega_3=2040,2$   $\text{см}^{-1}$ . Полученные в результате расчета куб. коэф. ангармоничности сравнены с аналогичными расчетами других авторов.

А. Ивлев

1964

OCS

коэф. колеб-  
вращ. взаим.

3 Б157. Определение постоянных кубического ангармонического потенциала из констант колебательно-вращательного взаимодействия молекул OCS и N<sub>2</sub>O. Dorman Franklin, Lin Chun C. Determination of the cubic anharmonic potential constants from the vibration-rotation interaction constants of the OCS and N<sub>2</sub>O molecules. «J. Molec. Spectrosc.», 1964, 12, № 2, 119—128 (англ.)

Для линейных молекул типа XYZ три константы колебательно-вращательного взаимодействия зависят главным образом от 3 из 6 возможных постоянных куб. потенциала. Оставшиеся три постоянные связаны с константами ферми-резонансного взаимодействия. На основании эксперим. данных по ИК- и микроволновым спектрам для молекул OCS, OC<sup>13</sup>S, O<sup>18</sup>CS, OCS<sup>34</sup>, NNO и N<sup>15</sup>NO определены константы колебательно-вращательного взаимодействия, проведено вычисление части, связанной с ангармоничностью, и, при пренебрежении

ж. 1965-3



три малыми постоянными, определены 3 куб. ангармонич. силовые постоянные. Результаты по молекуле OCS удовлетворительно совпадают с расчетами других авторов. Поскольку из ИК-спектров можно получить лишь одну константу ферми-резонансного взаимодействия для OCS, то это позволяет вычислить лишь одну еще ангармонич. постоянную.

В. Зубов

OCS

моллюда,  
кагоян

1 Д51. Определение кубических постоянных в ангармоническом потенциале из констант колебательно-вращательного взаимодействия молекул OCS и N<sub>2</sub>O. Dorfan, Franklin, Lin Chun C. Determination of the cubic anharmonic potential constants from the vibration-rotation interaction constants of the OCS and N<sub>2</sub>O molecules. «J. Molec. Spectrosc.», 1964, 12, № 2, 119—128 (англ.)

Для линейных молекул типа XYZ три константы колебательно-вращательного взаимодействия зависят главным образом от трех из шести возможных кубических постоянных потенциала. Оставшиеся три потенциальные постоянные связаны с константами резонансного взаимодействия типа Ферми. На основании эксперим. данных по ИК- и микроволн. спектрам для молекул OCS, OC<sup>13</sup>S, O<sup>18</sup>CS, OCS<sup>34</sup>, NNO и N<sup>15</sup>NO определены константы колебательно-вращательного взаимодействия. Вычислена часть, связанная с ангармоничностью, и в пренебрежении тремя малыми постоянными, определены три кубич. ангармонич. силовые постоянные. Результаты по молекуле OCS удовлетворительно совпадают с расчетами других авторов. Поскольку из ИК-спектров можно получить лишь одну константу резонансного взаимодействия для OCS, то это позволяет вычислить лишь еще одну ангармонич. постоянную.

В. Зубов

1964



ф. 1965. 12

1964

OCS

Case notes

Determination of the cubic anharmonic potential constants from the vibration-rotation interaction constants of the OCS and N<sub>2</sub>O molecules. Franklin Dorman and Chun C. Lin (Univ. of Oklahoma, Norman): *J. Mol. Spectry.* 12(2), 119-28(1964). The vibration-rotation interaction constants  $\alpha$  of OCS and N<sub>2</sub>O mols. depend primarily on the quadratic and on 3 of the cubic potential consts.,  $k_{111}$ ,  $k_{122}$ , and  $k_{133}$  (coeffs. of  $Q_1^3$ ,  $Q_1Q_2^2$ , and  $Q_1Q_3^2$ ) but are rather insensitive to the remaining potential consts. From the microwave data of  $\alpha$  for normal OCS, O<sup>13</sup>CS, <sup>18</sup>OCS, OC<sup>34</sup>S, and the infrared results for normal N<sub>2</sub>O and <sup>15</sup>NNO, these cubic potential consts. were detd. for these mols. By combining the Fermi interaction const. (between  $\nu_1$  and  $2\nu_2$ ) and  $\alpha_2$  of normal OCS,  $k_{322}$  is obtained. The results of the cubic force consts. are compared with those of Herschbach and Laurie (*CA* 56, 8021a). RCKP

C.A. 1964-60-6

6335 c



1964

OCS.  
спектр

У 6 Б296. Квадрупольный момент молекулы OCS, определенный по самоуширению микроволнового спектра. Krishnaji, Chandra Suresh, Srivastava Shyam Lal. Quadrupole moment of OCS from self-broadening of microwave spectrum. «J. Chem. Phys.», 1964, 41, № 2, 409—412 (англ.)

Произведен анализ уширения микроволновой линии поглощения молекулы OCS ( $J=1 \rightarrow 2$ ) с учетом комбинированного диполь-дипольного, диполь-квадрупольного, квадруполь-квадрупольного и диполь-индуцированного дипольного взаимодействия молекул OCS между собой. С использованием ранее определенных значений дипольного момента молекулы  $\mu 0,709 \cdot 10^{-18}$  эл.-ст. ед. и поляризуемости  $\alpha 55,7 \cdot 10^{-25}$  см<sup>3</sup> найдено значение квадрупольного момента  $Q 7,1 \cdot 10^{-26}$  эл.-ст. ед. С применением этого значения  $Q$  получено также объяснение температурной зависимости ширины линии. Значения  $Q$ , определенные различными авторами ранее по уширению линии OCS под давлением посторонних газов, составляют  $OCS 2,93 \cdot 10^{-26} - 11,8 \cdot 10^{-26}$  эл.-ст. ед. Т. Ребане

2.1965.6

1964

OCS

Quadrupole moment of OCS. Krishnaji and Shyam Lal (Srivastava (Univ. Allahabad, India). *J. Chem. Phys.* 41(7), 2201(1964); cf. *CA* 61, 5112f. The contribution of the 1st-order London dispersion forces to the quadrupole moment of OCS was calcd. This contribution cannot be neglected. The reevaluated moment is  $6.2 \times 10^{-26}$  e.s.u. Milton Landy

C.A. 1965. 62.1  
149d

OCS

1964

10 Д372. Квадрупольный момент молекулы OCS. Krishnaji, Srivastava Shyam Lal. Quadrupole moment of OCS. «J. Chem. Phys.», 1964, 41, № 7, 2201 (англ.)

Краткое дополнение к работе авторов (РЖФиз, 1961, 2Д82). При обработке данных по саморасширению линий OCS  $J=1 \rightarrow 2$  учтено влияние дисперсионных сил и получено уточненное значение квадрупольного момента, равное  $6,2 \cdot 10^{-25}$  ед. Дебая (полученное ранее значение  $7,1 \cdot 10^{-26}$  ед. Дебая).

ф. 1965. 10А

B92 - 4252 - IV

1965

COS

Al-Farboony M. J., May D.,  
Turner D.W.

(5)

J. Chem. Soc., 1965, Nov.,  
6350.

Молекулярная фото-  
элементарная спектроскопия  
ч. IV. Тейлен-

25/15  
24

узнать нормализацию  
и конфигурации  $\text{CO}_2$ ,  
 $\text{COS}$ ,  $\text{CS}_2$  и  $\text{NO}$ .

(см.  $\text{CO}_2$ ) III

O<sup>16</sup>C<sup>13</sup>S<sup>32</sup>

Вар - М 750 - IV

1965

Колебат.-  
вращат.  
спектр

2 Д276. Колебательно-вращательные спектры высокого разрешения молекулы O<sup>16</sup>C<sup>13</sup>S<sup>32</sup> в области между 3650 и 7000 см<sup>-1</sup>. Triaille E. A. Spectres de vibration-rotation à haute résolution du <sup>16</sup>O<sup>13</sup>C<sup>32</sup>S entre 3650 cm<sup>-1</sup> et 7000 cm<sup>-1</sup>. «Ann. Soc. scient. Bruxelles. Sér. 1», 1965, Sér. 1, 79, № 2, 193—221 (франц.; рез. англ.)

Из рассмотрения колебательно-вращательного спектра молекулы O<sup>16</sup>C<sup>13</sup>S<sup>32</sup>, снятого при помощи прибора с дифракционной решеткой, дающего разрешение порядка 0,07 см<sup>-1</sup> в области 3650—7000 см<sup>-1</sup>, определены значения некоторых колебательно-вращательных констант и проведено сравнение эксперим. данных с расчетными. Указаны возможные типы резонансов, которые следует учитывать при анализе спектра молекулы.

ф. 1966. 2Д

<sup>16</sup>  
OCS

BM 750-IV

1965

Vibration-rotation high-resolution spectra of  $^{16}\text{O}^{13}\text{C}^{32}\text{S}$  between  $3650\text{ cm.}^{-1}$  and  $7000\text{ cm.}^{-1}$  E. A. Triaille (Centre Phys. Nucl. Mol., Heverlee-Louvain, Belg.). *Ann. Soc. Sci. Bruxelles Ser. I* 79(2), 193-221(1965)(Fr). The spectrum of  $\text{O}^{13}\text{CS}$  (51.8%  $^{13}\text{C}$ ) was studied, 3650 to  $7000\text{ cm.}^{-1}$ , by using a 3.5-m. Ebert vacuum grating spectrometer. The ground-state rotational consts. were evaluated:  $B_0 = 0.20220\text{ cm.}^{-1}$ ,  $D_0 = 4.3 \times 10^{-8}\text{ cm.}^{-1}$ . An incomplete evaluation of the vibrational consts. is given. The new transitions with band-center frequency are:

$20^01-00^00$	3707.045	$\text{cm.}^{-1}$ ,	$12^01-00^00$	3850.835,	$00^02-00^00$
3996.495,	$04^01-00^00$	4028.775,	$30^01-00^00$	4544.547,	$22^01-00^00$
4682.335,	$10^02-00^00$	4845.113,	$20^02-00^00$	5689.98,	and $00^03-00^00$
5961.751					

Richard T. Hall

CA 1966, 643  
2876e

OCS

A433

справки.

Будущее

12 работ.

11-056-11-69

Priaille E. A.

1965

Lun. Soc. Sci Bruxelles

Ser. I. 79(2), 193-221, 1965

Смерть  $^{16}O^{13}C^{32}S$  в вод. 3650-7000

колебательное - вращательное.

$B_0 = 0, 202203$  см<sup>-1</sup>, авторизация

$$\beta_0 = 0,20220 \text{ см}^{-1}$$

$$\gamma_0 = 4,3 \times 10^{-8} \text{ см}^{-1}$$

$$\omega_3^0 = 2020,25 \text{ см}^{-1}$$

$$\chi_{33}^0 = -11,00$$

$$\gamma_{333} = 0$$

$$\chi_{23}^0 = -6,83 \text{ см}^{-1}$$

$$\omega_2^0 + \chi_{22}^0 + \gamma_{22}^0 = 505,58$$

$$\chi_{11}^0 + 4\chi_{22}^0 + \chi_{12}^0 = -3,75 \text{ см}^{-1}$$

Таблицы интересны каждому мол. ос. вращательных линий

$$d_3 = 0,00116 \text{ см}^{-1}$$

$$\gamma_{33} = 0,00001$$

$$\gamma_{23} = 0,00004$$

$$\gamma_{11} + 4\gamma_{22} + \gamma_{12} =$$

$$= -0,00018$$

OCS

BM 1166-IV

1965

UK. enekip

Further evidence for perturbations in the infrared spectra of carbonyl sulfide. E. A. Triaille (Centre Phys. Nucl. Mol., Louvain, Belg.) and C. P. Courtoy. *J. Mol. Spectry.* 18(1), 118-28(1965)(Eng). The vibration-rotation spectra of the OCS mol. were studied between 3600 and 7000  $\text{cm}^{-1}$  with a new Ebert-type evacuated grating spectrometer. Four new transitions are used to det. fundamental consts. of the mol. An attempt is made to calc. the importance of Fermi resonance. A perturbation of the  $2\nu_1 + \nu_3$  band is reported. RCKP

C.A. 1965. 63.11

14228 f

DCS

Trialle E. A.

1965

J. Mol. Spectry, 1965, 18, 118-128.  
Further Evidence for Perde-  
bations in the Infrared Spectra  
of Carbonyl Sulfide

Допол 3600-7000 см<sup>-1</sup> Валзули  
смер. дупта 4 новых черточ.

$0^{12}CS'$

$$\omega_1^0 = 869,21$$

$$x_{11}^0 = -4,00$$

$$x_{12}^0 = -0,75$$

$$y_{111} = -0,08$$

$$y_{112} = -0,06$$

$$y_{1222} = -0,03$$

$$\omega_c^0 = 520,22$$

$$x_{22}^0 = 0,16$$

$$x_{13}^0 = -2,27$$

$$g_{22}^0 = 0,05$$

$$y_{222} = -0,02$$

$$y_{113} = 0,01$$

$$y_{223} = 0,035$$

$$y_{123} = 0,03$$

$$\omega_3^0 = 2073,765$$

$$x_{33}^0 = -11,555$$

$$x_{23}^0 = -2,315$$

$$y_{333} = 0,01$$

$$y_{133} = -0,085$$

$$y_{233} = -0,033$$

1397 - M 1166 - IV

1965

OCS

7 B151. Дальнейшие исследования возмущений в инфракрасном спектре карбонилсульфида. Triaille E. A., Courtoy C. P. Further evidence for perturbations in the infrared spectra of carbonyl sulfide. «J. Molec. Spectrosc.», 1965, 18, № 1, 118—128

Исследован колебательно-вращательный спектр молекулы OCS в области  $3600-7000 \text{ см}^{-1}$ . Проведен анализ вращательной структуры 4 параллельных полос, из которых 3 полосы, соответствующие переходам из основного состояния в состоянии 200, 201 и 202, образуют триаду Ферми. Однако аномальная вращательная структура полосы  $2\nu_1 + \nu_3$  не объясняется лишь резонансом Ферми.

X. 1964 - 7

Кроме того, отрицательный знак разности  $D' - D''$ , найденной при анализе полосы  $4\nu + \nu_3$ , вопреки ожиданиям тоже не объясняется резонансом Ферми. Эти аномалии не удается объяснить резонансными эффектами первого и второго порядков. Найдены значения постоянных ангармоничности  $x_{ij}$  ( $x_{11} = -400 \text{ см}^{-1}$ ;  $x_{22} = 0,16$ ;  $x_{33} = -11,55$ ;  $x_{12} = -0,75$ ;  $x_{13} = -2,27$ ;  $x_{23} = -7,31$ ) и  $y_{ijk}$  и значения разностей  $V^I - V^{II}$  и  $D^I - D^{II}$  для ряда колебательных уровней OCS. См. РЖХим, 1963, 7Б126. М. Алиев

OCS

ВФ М 1166-IV

1965

1-6-Д273. Дополнительные данные о возмущениях в ИК-спектрах сероокиси углерода. Triaille E. A., Courtoy C. P. Further evidence for perturbations in the infrared spectra of carbonyl sulfide. «J. Molec. Spectrosc.», 1965, 18, № 1, 118—128 (англ.)

Исследованы колебательно-вращательные спектры OCS в области  $3600-7000 \text{ см}^{-1}$  с помощью вакуумного дифракционного спектрометра со спектральной шириной щели  $0,1-0,2 \text{ см}^{-1}$ . Точная калибровка прибора производилась с помощью интерферометра Фабри—Перо. Газ вводился в кювету многократного прохождения с оптической длиной пути до 60 м при давлении от нескольких миллиметров до 16 мм рт. ст. Проанализированы 4 новых парал. перехода и заново промерены некоторые известные полосы. Вычислены молекулярные постоянные. Подробно обсуждаются возмущения, наблюдающиеся в спектрах. Рассчитан вклад резонанса Ферми. Рассматри-

ф. 1966. 69

~~Lucovsky G., Emmons R. B.~~

~~High frequency photodiodes.~~

~~Appl. Optics, 1965, 4, N 6, 697-702.~~

ваются другие возможные причины возмущений. В той же области спектра получены 10 новых полос изотопной модификации  $^{16}\text{O}^{13}\text{C}^{32}\text{S}$ . Библ. 16 назв. В. Ревич

1965

OCS

9 Д226. Метод измерения дипольных моментов молекул по микроволновым спектрам, использующий зависимость амплитуды сигнала от величины слабого модулирующего поля. Lindfors Karl R., Cornwell C. D. Rate-of-growth technique for the measurement of molecular dipole moments from microwave spectra at weak modulation fields. «J. Chem. Phys.», 1965, 42, № 1, 149—155 (англ.)

Описан метод измерения дипольных моментов по зависимости наблюдаемого сигнала от величины  $E$  модулирующего поля прямоугольной формы при использовании фазового детектирования. Предлагаемый метод в отличие от обычного метода измерения по Штарковскому расщеплению в постоянном поле не требует разрешения индивидуальных Штарковских компонент и не ограничен малыми значениями вращательного квантового числа. Анализ метода проведен в предположении лоренцевой формы линии поглощения для случаев линейного или квадратичного эффектов Штарка. Эксперим. проверка

(24)

ф. 1965. 98

A

метода выполнена на спектрокопе с волноводной ячейкой диапазона 3 см при частоте модуляции 5 кГц; величина  $E$  могла изменяться в интервале 0—2000 в. Описаны компенсационный метод измерения  $E$  и схема получения частотных меток. Ячейка калибровалась по постоянному напряжению с помощью штарк-эффекта в молекулах OCS. Метод был проверен на молекулах OCS, CH<sub>3</sub>Br и SO<sub>2</sub> с известными дипольными моментами. Предполагается, что точность измерения составляет несколько процентов.

Д. Клышко

SC 0

Van Katerswörden K; No-1965  
ism S; Rajalakshmi K.

и.и.

Bull. cl. sci. Acad. roy.  
Belg., 51, N3, 359-370.

Средние асимметричные коле-  
бания; эджені сокращенія  
и ітернодіона івесне св-ва  
мелітате молекуляр и попер  
X 3 2.

БФУ-А 589

COS

BP-M1157-IV | 1965

(v<sub>c</sub>)

Yamada H.,  
Person W.B.

J. Chem. Phys., 1965,  
43(7), 2519-26

BrCN } (zusätzliche Namen)  
SCO

1966

11951

Gadimi A.  
Z. Naturforsch., 1966, 21a, N4, 426-430  
(neu)  
Kraftkonstantenberechnung nach  
einer Methode der nächsten  
Lösung.

Pu Xue, 1966, 225159

W (P)

3  
L. Curry

Infrared spectra of crystalline and matrix-isolated carbonyl sulfide. Frank D. Verderame (Frankford Arsenal, Philadelphia, Pa.) and Eugene R. Nixon. *J. Chem. Phys.* 44(1), 43-8(1966) (Eng). The ir spectrum of OCS has been examd. as a polycryst. film at 80°K. and also in matrix-isolated form, using, Ar, N, and CS<sub>2</sub> as the matrix materials. Particular attention has been given to the  $\nu_3$  vibration, which appears as an abnormally broad and asymmetric band in solid OCS. The asymmetry of  $\nu_3$  does not appear to be the result of any significant reflection effects nor is it due to disorder in the crystal. A study of the concn. dependence

of the  $\nu_3$  frequency in isotopic mixts. shows that a good part of the asymmetry can be attributed to the  $\nu_3$  absorption of mols. contg. <sup>33</sup>S and <sup>34</sup>S. Spectra of dil. mixts. of OCS in Ar matrixes display absorption by both isolated mols. and mol. pairs. The features of the spectrum are accounted for qual. in terms of a simple model of pairs interacting through transition-dipole coupling. In both N and CS<sub>2</sub> matrixes, the evidence suggests 2 different sites for the OCS mol. in the host-lattice. RCJQ

7. 1966. 64.5  
941h-5942a

1966

OCS

Freed, K. F.,  
Lombardi J. R.

11.966

J. Chem. Phys., 45, 12, 591.

Исследование  
свойств  
полимера.

взаимодействие и ко-  
преципитации

(см. Работы  
м.п.)

COS

ВФР М 1914 - IV

1966

11 Б120. Спектр излучения молекулы COS. Laksh-  
man S. V. J., Ramakrishna Rao T. V. Emission  
spectrum of COS molecule. «Indian J. Pure and Appl.  
Phys.», 1966, 4, № 10, 396 (англ.)

Исследован спектр излучения молекул COS в сильном  
разряде в области  $3250-2800 \text{ \AA}$ . На основании анализа  
двух групп фиолетово-оттененных полос, разделенных  
интервалами  $\sim 380 \text{ см}^{-1}$  (13 полос) и  $520 \text{ см}^{-1}$  (3 поло-  
сы) определено значение частоты для верхнего элект-  
ронного состояния, равное  $900 \text{ см}^{-1}$ . Дублет фиолетово-  
оттененных полос с частотами кантов  $34707$  и  
 $34575 \text{ см}^{-1}$  отнесен к полосе  $0-0$ -перехода  $2\Sigma^- - 2\Pi$  иона  
COS<sup>+</sup>.

В. Байков

спектр

и. и.

X. 1967. 11

COS

В992 - М 1914 - IV - 1966

5 Д213. Спектр излучения молекулы COS. Laksh-  
man S. V. J., Ramakrishna Rao T. V. Emission  
spectrum of COS molecule. «Indian J. Pure and Appl.  
Phys.», 1966, 4, № 10, 396 (англ.)

спектр

Исследован спектр излучения молекул COS в силь-  
ноточном разряде в области 3250—2800 Å. На основа-  
нии анализа двух групп фиолетово-оттененных полос,  
разделенных интервалами  $\sim 380 \text{ см}^{-1}$  (13 полос)  
и  $\sim 520 \text{ см}^{-1}$  (3 полосы), определено значение частоты  
для верхнего электронного состояния, равное  $900 \text{ см}^{-1}$ .  
Дублет фиолетово-оттененных полос с частотами кан-  
тов  $34707$  и  $34575 \text{ см}^{-1}$  отнесен к полосе 0—0 перехода  
 ${}^2\Sigma - {}^2\Pi$  иона  $\text{COS}^+$ . В. Байков

1967. 52

COS

Bop - M1914-IV

1966

16386z Emission spectrum of COS molecules. S. V. J. Lakshman and T. V. Ramakrishna Rao (Sri Venkateswara Univ., Tirupati). *Indian J. Pure Appl. Phys.* 4(10), 396(1966)(Eng). The band spectrum of COS was excited by discharging a 2-kv. 1-amp. current through a mixt. of  $\text{CaCO}_3$  and S with a  $\text{CaCO}_3$  concn. much greater than that of S. The violet-degraded bands in the 2800-3250-A. region are regularly spaced with a sepn. of  $\sim 380 \text{ cm.}^{-1}$ . Bands at 33,262, 33,641, and 34,012  $\text{cm.}^{-1}$  and at 32,738, 33,123, and 33,492  $\text{cm.}^{-1}$  gave sepns. which agree well with the 2nd fundamental frequency of COS; the upper state frequency must be  $\sim 900 \text{ cm.}^{-1}$ . Double-headed violet-degraded bands at 2880.4 and 2891.4 A. show a sepn. equal to the ground-state sepn. between the  $^2\Pi_{3/2}$  and the  $^2\Pi_{1/2}$  states of the  $\text{COS}^+$  mol. ion; these bands may be the (0,0) bands of a  $^2\Sigma - ^2\Pi$  transition of the  $\text{COS}^+$  mol. ion.

Milton Landy

C.A. 1967. 67. 4

OCS

1966

6 Д308. Ширина линий микроволновых спектров OCS и других молекул с симметричной вершиной. Britt Chester O., Boggs James E. Microwave linewidths of OCS and some symmetric-top molecules. «J. Chem. Phys.», 1966, 45, № 10, 3877 (англ.)

Измерены микроволн. спектры OCS, CH<sub>3</sub>Cl, CHF<sub>3</sub>PF<sub>3</sub> с целью определения расширения линий за счет столкновений. Отмечается удовлетворительное совпадение с результатами других авторов. Библ. 10.

09.1967. 62

COS

Yamada H.

1966

Person W.B.

интенсивности  
ИК-лучей

J. Chem. Phys., 45,  
176, 1861-1865.

Абсолютные интен-  
сивности ИК-лучей  
находятся с помощью  
треугольника  в газовой фазе. (см. N<sub>2</sub>O)

OCS  
SCA

см. ност.

A. Fadini [ВФМ 951-IV] [1966]

Z. Naturforsch., 21a, 426

Расчет силовых потенциа-  
лов методом ближайшего  
расположения.

(См. ВЗ СН) III

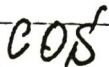
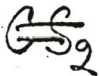
OCS

Burden F.R., Millen D.

1967

J. Chem. Soc., A, 1967, no 8, 1212-1217

Константы кубических амперометрических потенциалов, вычисленные из кинетики кол.-вращ. взаимодействия. Присоединение к OCS и HCN.



David Y. G.  
Hallam H. E.

1967

Spectrochim. acta, 23A, 593

Эффект растворимости на  
свой в ИК-спектрах и  
механические свойства  
действий. X. Трехатомные  
молекулы  $\text{CS}_2$ ,  $\text{COS}$  и  $\text{SO}_2$



(см.  $\text{CS}_2$ ) III

11907

CO. 5

Dibeler V.H., Walker J.A.

J. Opt. Soc. Amer., 57, n 8,  
1007.

масс - спектрометрии р.  
выделение фотодиссоциации:  
VI. O<sub>2</sub>, CO<sub>2</sub>, COS и C<sub>2</sub>



(см. O<sub>2</sub>) III

COS

1967

импульсн.  
фотолиз

11 Д806. Реакции атомов серы. IX. Импульсный фотолиз COS и реакции атомов  $S(^1D)$  с водородом и метаном. Fowles P., deSorgo M., Yarwood A. J., Strausz O. P., Gunning H. E. The reactions of sulfur atoms. IX. The flash photolysis carbonyl sulfide and the reactions of  $S(^1D)$  atoms with hydrogen and methane «J. Amer. Chem. Soc.», 1967, 89, № 6, 1352—1362 (англ.)  
Исследовали импульсный фотолиз (ИФ) в газовой фазе чистого COS (I) при давлениях 7—400 мм рт. ст. и смесей I с  $H_2$  и  $CH_4$ . Показано, что при ИФ (I) образуются атомы  $S(^1D)$ , которые вступают в реакцию:  $S(^1D) + COS \rightarrow S_2 + CO$ , давая метастабильные возбужденные молекулы  $S_2$  в синглетных состояниях  $x^1\Delta_g$  или  $y^1\Sigma_g^+$ . В присутствии  $H_2$  и  $CH_4$  атомы  $S(^1D)$  вступают в реак-

ф. 1967. 11 Д

ции:  $S(^1D) + H_2 \rightarrow H_2S^*$  и  $S(^1D) + CH_4 \rightarrow CH_3SH^*$  с последующим распадом колебательно-возбужденных молекул  $H_2S^*$  и  $CH_3SH^*$ . Определяли также промежуточные продукты ИФ  $H_2S$  и  $C_2H_4S$ . Приведены оценки констант скоростей рекомбинации и диспропорционирования  $S(^3P)$  атомов и  $SH(^2\pi)$ -радикалов. Измерены абс. значения констант скоростей рекомбинации молекул  $S_2$  в основном состоянии в присутствии различных добавок:  $S_2 + S_2 + M \rightarrow S_4 + M$ . С увеличением давления  $l$  от 7 до 400 мм рт. ст.  $K$  (л/моль · сек ·  $10^{-10}$ ) возрастает с 0,041 до 0,43. Введение  $H_2$  и  $CH_4$  приводит к дальнейшему увеличению  $K$  (максимальное значение, равное 8, получено в присутствии  $CH_4$ ).

А. Шведчиков

OCS

1967

(+)

8 Д329. Микроволновые спектры излучения: OCS.  
Hill R. M., Kaplan D. E., Heggmann G. F.,  
Ichiki S. K. Emission microwave spectroscopy: OCS.  
«Phys. Rev. Letters», 1967, 18, № 4, 105—107 (англ.)

При исследовании излучения газообразного OCS, возбужденного короткими импульсами микроволн. диапазона, обнаружены следующие явления: 1. Когерентный «звон» после прекращения внешнего импульса. Кривая на выходе приемника несет в себе информацию о скоростях столкновений и других релаксационных процессах. Наличие биений порядка 1 мГц создает быстрый и точный метод измерения резонансных частот. Сравнение полученных результатов с измерениями ширины линий поглощения дает хорошее совпадение. 2. Модуляция когер. излучения одного уровня за счет возбуждения

не нулевой,

09. 1967. 89

второго позволяет непосредственно наблюдать время жизни индуцированного возбуждения. 3. Обнаружены два отраженных импульса, являющихся аналогами спиновых эхо. Измерения проводились с помощью спектрометра с длительностью импульсов 0,1—1 мсек., с пиковой мощностью 10 вт при давл.  $3-20 \cdot 10^{-3}$  мм рт. ст.

Б.Н.

OCS

1987

17 B235. Микроволновые спектры излучения: OCS. Hill R. M., Kaplan D. E., Neigmann G. F., Ichiki S. K. Emission microwave spectroscopy: OCS. «Phys. Rev. Letters», 1967, 18, № 4, 105—107 (англ.)

При исследовании излучения газообразного OCS, возбужденного короткими импульсами МКВ-диапазона, обнаружены следующие эффекты: 1. Когерентный «звон» после прекращения внешнего импульса. Кривая на выходе приемника содержит информацию о скоростях столкновений и других релаксац. процессах. Наличие биений порядка 1 мГц позволяет быстро и точно измерять резонансные частоты. Сравнение полученных результатов

X: 1987. 17

с измерениями ширины линий поглощения дает хорошее совпадение. 2. Модуляция когерентного излучения одного уровня за счет возбуждения второго, которая позволяет непосредственно измерять время жизни индуцированного возбуждения. 3. Два отраженных импульса, являющихся аналогами спиновых эхо. Измерения проводились со спектрометром с продолжительностью импульсов 0,1—1 мсек, с пиковой мощностью 10 вт при давлениях 3—20  $\cdot 10^{-3}$  мм.

Б. Н.

OCS

спектр,  
вр. пост.,  
колеблющаяся

7 Д283. О спектре молекулы OCS в вакуумной УФ-области. Корр I. On the spectrum of OCS in the vacuum ultraviolet. «Canad. J. Phys.», 1967, 45, № 12, 4011—4017 (англ.)

Исучен спектр поглощения (1350—1420 Å) OCS при помощи спектрографа высокого разрешения. Наблюдено 8 электронных переходов. Спектр диффузен и вращательная структура практически не разрешена, что объясняется преддиссоциацией возбужденных состояний. Однако для переходов из основного состояния в состояния  $\tilde{E}^1\Pi$ ,  $\tilde{F}^1\Pi$ ,  $\tilde{I}^1\Pi$  и  $\tilde{N}^1\Sigma^+$  удалось определить вращательную постоянную  $B$ . Определены колебательные частоты и геометрия возбужденных состояний. Распределение интенсивности во всех полосах, кроме  $\tilde{N}-\tilde{X}$ , подобно: колебательная частота образует прогрессию, в которой интенсивность спадает с увеличением номера члена про-

1967

349

БФ-7145-V

Ф. 1968. 7 Я

грессии. В полосе  $\tilde{N}-\tilde{X}$  все члены, кроме второго, который слабее других, имеют приблизительно равную интенсивность. Это связано, по-видимому, с взаимодействием различных электронных состояний. Вследствие взаимодействия электронного и колебательного угловых моментов происходит расщепление вырожденного возбужденного состояния (эффект Реннера — Теллера), что было обнаружено для молекулы OCS по температурной зависимости спектра поглощения.

В. Л. Богданов.

OCS

M. N.

1984

349

34457y Spectrum of OCS in the vacuum ultraviolet. I. Kopp (Natl. Res. Council, Ottawa, Can.). *Can. J. Phys.* 45 (12), 4011-17(1967)(Eng). The absorption spectrum of OCS in the region 1350-1420 Å. has been investigated under high resolu. A vibrational analysis including most of the bands has been carried out. The bands in this region show no rotational fine structure. For double-headed bands, approx.  $B$  values of the upper states have been obtained from the sepn. of the heads. The following consts. were detd. ( $\text{cm.}^{-1}$ ):

	$T_{000}$	$\nu_1$	$\nu_2$	$\nu_3$	$B_{000}$
$\bar{E} \ ^1\Pi$	70,913	1324.9	469	723.5	0.196
$\bar{F} \ ^1\Pi$	71,431	1340.3		737.4	0.195
$\bar{I} \ ^1\Pi$	71,797	1351.7		695.9	0.197 ( $B_{001}$ )
$\bar{N} \ ^1\Sigma^+$	71,817			711.1	0.194 ( $B_{001}$ )
					RCCN

C.A. 1968.68.8

DCS

1967

Kopp J

Can. J. Ph., 1967, 45, 12, 4011

Череповск в Восточном крае

OCS

1987

95395c Microwave spectral linewidth of OCS molecule due to molecular collisions. Krishnaji and Shyam Lal Srivastava (Allahabad Univ., Allahabad, India). *J. Chem. Phys.* 47(6), 1885-91(1967)(Eng). A double-modulation microwave spectrograph has been used to det. the width of  $j\ 1 \rightarrow 2$  line of OCS mol. at different pressures due to collisions with the following perturbers: carbonyl sulfide, Ar, O, air, MeBr, and water vapor. Exptl. linewidth parameters for OCS-OCS, OCS-Ar, OCS-O<sub>2</sub>, and OCS-N<sub>2</sub> mol. collisions are interpreted by using Anderson (CA 43: 8884a) Tsao-Curnutte (*J. Quant. Spectry. Radiative Transfer* 2, 41(1962)) theory for the mixed-interactions case. The mol. quadrupole moments of OCS, O<sub>2</sub>, and N<sub>2</sub> are found to be  $2.0 \pm 2.0$ ,  $2.0 \pm 0.2$ , and  $5.0 \pm 0.5$  D.A, resp. RCJO

C.A. 1987. 17. 20

OCS

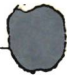
Llewellyn H. G.

1967

Geoch. Chem., 6, N2, 29.

сст. пост.

Соотношение между си-  
ловыми постоянными  
и другими характеристиками  
связи в ди-  
халькогенидах углерода.



(сст.  $\text{CO}_2$ ) III

OCS

1967

V 8 Д161. Вращательный магнитный момент молекулы OCS. L. M. I. Kuo, Flygare W. H. Rotational magnetic moment of OCS. «Phys. Rev.», 1967, 154, № 1, 93—94 (англ.)

Отмечается расхождение между эксперим. значениями  $g$ -фактора молекулы OCS, измеренными методом молекулярных пучков и методом наблюдения эффекта Зеемана в микроволн. спектрах. Произведены прецизионные измерения (при т-ре твердого CO<sub>2</sub>), эффекта Зеемана первого порядка на вращательных переходах  $J=0 \rightarrow J=1$  и  $J=1 \rightarrow J=2$ . Из первого перехода определен  $g$ -фактор для состояния  $J=1$ ; он равен  $-0,02851 \pm 0,0004$ . Из второго перехода определен усредненный  $g$ -фактор для состояний  $J=1$  и 2, равный  $-0,02915 \pm 0,0005$ . Эти результаты хорошо согласуются с цитированными выше измерениями по методу молекулярных пучков. Отмечается, что это несколько неожиданно, поскольку последние измерения производились при комнатной т-ре (когда ф-ция

00, 1967, 89

распределения по  $J$  имеет максимум при  $J=22$ ).

Т. К. Ребане

OCS

1987  
20 Б297. Вращательный магнитный момент OCS. Lo  
Mei—Kue, Flygare W. H. Rotational magnetic  
moment of OCS. «Phys. Rev.», 1967, № 154, № 1,  
№ 158, 93—94 (англ.)

Методом микроволновой спектроскопии измерена величина эффекта Зеемана на вращательных линиях 0—1 и 1—2 молекулы OCS. Из величины эффекта Зеемана на линии 0—1 найдено значение  $g$ -фактора вращательного уровня с  $I=1$ , равное  $-0,02851 \pm 0,0004$ . Усредненное по состояниям  $I=1$  и  $I=2$  значение  $g$ -фактора  $g = -0,02915 \pm 0,0005$ , найденное для перехода 1—2 практически не отличается от значения  $g$ , найденного для состояния с  $I=1$ . Результаты сопоставлены с литературными данными, полученными методом молекулярных пучков, где определяется значение  $g$ -фактора, усредненное по большому числу вращательных состояний. Пол-

X. 1987. 20

ное согласие этих результатов в пределах ошибок эксперимента показывает, что величина  $g$ -фактора от вращательного состояния OCS не зависит. М. Р. Алнев

0<sup>16</sup>C<sup>12</sup>S<sup>32</sup>

1967

3 Д244. Измерение прямых *l*-дублетных переходов в карбонилсульфиде. Maeki Arthur G. Measurement of the direct *l*-doublet transitions in carbonyl sulfide. «J. Mol. Spectrosc.», 1967, 23, № 1, 110—111 (англ.)

Измерены *l*-дублетные переходы с  $\Delta J=0$  в колебательном состоянии 0 1' 0 для молекул  $O^{16}C^{12}S^{32}$  и  $O^{16}C^{13}S^{32}$ . Приведены наблюдаемые частоты переходов. Переходы рассчитаны методом наименьших квадратов. Приведены следующие постоянные (в Мгц)  $q=6,36131 \pm 0,00005$  и  $\mu=4,20 (\pm 0,03) \cdot 10^{-6}$  для  $O^{16}C^{12}S^{32}$  и  $q=6,50770 \pm 0,00012$  и  $\mu=4,36 \cdot (\pm 0,07) \cdot 10^{-6}$  для  $O^{16}C^{13}S^{32}$ . С использованием полученных результатов и привлечением данных из работ других авторов оценена константа расщепления Корнолиса  $\zeta_{12}^{(x)}$ , значение которой оказалось равным  $(\zeta_{12}^{(x)})^2 = 0,0266$ . Обсуждены некоторые варианты оценки значений  $\zeta_{12}^{(x)}$  константы Корнолиса. Н. Е. Кузьменко

м. и.

ср. 1968. ЗН

COS

ВФ-IV-290

1967

Д 4 Д247. Потенциалы ионизации и коэффициент поглощения COS. Matsunaga F. M. Watanabe K. Ionization potential and absorption coefficient of COS. «J. Chem. Phys.», 1967, 46, № 11, 4457—4459 (англ.)

Измерены коэф. поглощения и фотоионизации COS в области 1070—1700 Å с разрешением 0,5 Å. Из кривых фото-ионизации найдены значения энергии дублета первого потенциала ионизации молекулы, равные 11,18 и 11,22 ± 0,01 эв.

Резюме

(7)

ВФ-ХIV-600

оп. 1988. 4

COS

ВФ-IV-292

1947

№ 882. Потенциал ионизации и коэффициент поглощения COS. Matsunaga F. M., Watanabe K. Ionization potential and absorption coefficient of COS. «J. Chem. Phys.», 1967, 46, № 11, 4457—4459 (англ.)

Измерены коэф. поглощения и фотоионизации COS в области 1700—1070 А с разрешением 0,5 А. В дополнение к ранним исследованиям, с которыми данная работа хорошо согласуется, найдены 4 новые колебательные прогрессии в областях 1700—1620, 1562—1430 и 1417 А с разностями 500—430, 900—730 и 710 см<sup>-1</sup>, соответственно. В области 1410—1070А наблюдаемые полосы расположены в две серии Ридберга  $V=I-R/(n+0,425)^2$ ,  $n_1=n_2=2-7$ , сходящиеся к дублету первого потенциала ионизации COS:  $I_1=11,18$ ,  $I_2=11,22 \pm 0,01$  эв.

Э. Морозов

Х. 1948. 12



ВФ-IV-601

COS

BP-IV - 290

1967

(7)

95382w Ionization potential and absorption coefficient of COS. F. M. Matsunaga and K. Watanabe (Univ. of Hawaii, Honolulu). *J. Chem. Phys.* 46(II), 4457-9(1967)(Eng). Absorption and photoionization coeffs. of COS in the region 1070-1700 A. were measured with a resolu. of 0.5 A. by photoelec. methods. The absorption curves support the photographic studies of Price and Simpson (CA 33: 3691<sup>7</sup>); Tanaka, Jursa, and LeBlanc (CA 54: 18061h). The doublet first ionization potential of the mol. was found to be 11.18 and  $11.22 \pm 0.01$  ev. from the convergence limit of a Rydberg series and the photoionization curve.

RCJQ

BP-XIV - 604

C.A. 1967. 67. 20

OCS

№ 2593

1967

4 Б234. Микроволновые спектры и равновесная структура карбонилсульфида. Morino, Yonezo, M. a. t. s. u. m. i. r. a C. h. i. Microwave spectra and equilibrium structure of carbonyl sulfide. «Bull. Chem. Soc. Japan», 1967, 40, № 5, 1095—1100 (англ.)

Измерены микроволновые спектры молекулы OCS. Использован стандартный спектрометр штарк-модуляционного типа. Измерения выполнены в области т-р до 250°. В таблицах приведены наблюдаемые частоты  $j=1\leftarrow 0, 2\leftarrow 1, 3\leftarrow 2$  и  $5\leftarrow 4$  переходов для различных колебательных состояний молекул  $O^{16}C^{12}S^{32}$  и  $O^{16}C^{12}S^{34}$ .

сидеритур

X.1968.4

Константы удвоения  $I$ -типа, полученные для возбужденных состояний деф. кол.  $\nu_2$ , позволили определить константу взаимодействия нулевого порядка,  $q_e$ . Показано, что значение  $q_e$ , определенное таким образом, можно использовать для оценки гармонич. силовых постоянных. Обсуждены резонансы Ферми, на основании чего сделано заключение, что нельзя пренебречь эффектами, обусловленными кубич. константой  $K_{223}$  и константой  $K_{122}$ . Найдено, что равновесная структура имеет параметры:  $r_e(O-C) = 1,157 \pm 0,002$  и  $r_e(C-S) = 1,560 \pm 0,002$  А.

Г. Ларин

OCS

M 2593

1967

(M. b. u. l. l. e. f.)  
C. A. 1968.68.18

82890f Microwave spectra and equilibrium structure of carbonyl sulfide. Yonezo Morino and Chi Matsumura (Univ. Tokyo). *Bull. Chem. Soc. Jap.* 40(5), 1095-100(1967)(Eng). Microwave spectra have been measured for various vibrationally excited states of the OCS mol. The *l*-type doubling consts. obtained for the excited states of the bending vibration,  $\nu_2$ , have led to the detn. of the zero-order coupling const.,  $q_e$ . The  $q_e$  value thus obtained is useful for the evaluation of the harmonic force consts. The Fermi resonances have been discussed; they lead to the conclusion that the effect due to the cubic const.,  $k_{223}$ , cannot be ignored, nor can that due to  $k_{122}$ . With due consideration for this situation, the equil. structure has been found to be:  $r_e(\text{O-C}) = 1.157_2 \pm 0.002 \text{ \AA}$ . and  $r_e(\text{C-S}) = 1.560_6 \pm 0.002 \text{ \AA}$ .

V. Sutula

C.A. 1968.68.18

OCS

1967

У 4 Б239. Определение анизотропии поляризуемости OCS методом микроволновой спектроскопии. Schaeffer LeRoy H., Muentzer John S., Laurie Victor W. Determination of the polarizability anisotropy of OCS by microwave spectroscopy. «J. Chem. Phys.», 1967, 46, № 6, 2431—2434 (англ.)

Описана конструкция ячейки для исследования штарк-эффекта в микроволновой области в газовой фазе. Проведено теор. рассмотрение, показывающее, что для измерения поляризуемости  $i(\alpha)$  предпочтительно использовать высшие  $J$ -переходы. Для измерения анизотропии  $\alpha$  молекулы OCS использован переход  $J=4 \rightarrow 5$  при 60814,26 Мгц. Полученное значение  $\alpha_{xx} - \alpha_{zz} = 5,34 \cdot 10^{-24}$  см<sup>3</sup> (ось  $z$  совпадает с осью молекулы) сравнивается с результатами для CO<sub>2</sub> и CS<sub>2</sub>. Э. В. Б.

X. 1968. 4

COs

Twiner D.W., May D.P. | 1967

J. Chem. Phys., 46, N. 3, 1156.-60

Множители Франка-Кондо  
на при конденсации: исполь-  
зование молекулярной фото-  
элементарной спектроскопии

II.

(см.  $\text{CO}_2$ ) III

ВФ-М 2350-IV

SCO

Yoshimine M.,  
McLean A.D.

1967

D<sub>0</sub>

Int. J. Quantum. Chem.,  
Symp. 1967 (N 1)

(see. LiF) !!!

CO<sub>2</sub>

1968

Collin J. R., Natalis P.

Int. J. Mass Spectrom. Ion  
Phys. 1, 119, 121.

Ionization, preionization,  
and internal energy  
conversion in carbon  
dioxide, carbon oxy sul-  
fide and carbon  
disulfide by photoelect-

non spectroscopy.

(see  $\text{CO}_2$ ) III

1968

COS

Dibeler V.H.,  
Walker J.A.

φ<sub>10</sub>φ<sub>10</sub>φ<sub>10</sub>φ<sub>10</sub>φ<sub>10</sub>  
φ<sub>10</sub>; D<sub>0</sub>

Advances Mass Spect  
rom. Vol. 4, London,  
1968, 767.



(Cell. D<sub>2</sub>) II

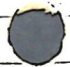
1968

OCS

21 Б60. Ангармонический резонанс третьего порядка в OCS. Fayt A. Résonance anharmonique du troisième ordre dans le OCS. «Ann. Soc. scient Bruxelles», 1968, Sér. 1, 82, № 1, 101—112 (франц.)

Выполнен анализ вращательной структуры 3 близко-расположенных составных полос  $2\nu_1 + \nu_3$ ,  $2\nu_1 + 4\nu_2^0$  и  $2\nu_1 + 4\nu_2^2$  молекулы OCS при 3768, 3763 и 3759  $\text{см}^{-1}$ . Аномальная вращательная структура этих полос интерпретирована ангармонич. резонансом 3-го порядка между уровнями  $20^0_1$  и  $24^0_0$  и корюлисовым резонансом между уровнями  $24^2_0$  и  $[20^0_1, 24^0_0]$ . Составлена матрица колебательно-вращательной энергии с учетом этих резонансов и путем ее диагонализации определены частоты вращательных линий. Получено полное согласие между вычисленными и опытными значениями частот линий. Найдены значения вращательной (B) и центробежной (D)

111  
853  
B20-853-111



ж. 1968. 21

постоянных для рассматриваемых колебательных уровней, а также параметров, характеризующих резонансы между ними. Для коэф. ангармонич.  $K^*_{22223}$  получено значение  $1,4446 \pm 0,0005 \text{ см}^{-1}$ , которое использовано при вычислении резонансных поправок к постоянным  $B$ ,  $D$  и  $H$  [коэф. при  $I^3(I+1)^3$ ] для других резонирующих колебательных уровней. Идентифицирована также вращательная структура горячих полос  $3\nu_1 + \nu_3 - \nu_1$  и  $2\nu_1 + \nu_2^1 + \nu_3 - \nu_2^1$ . Обнаружено  $l$ -удвоение линий полосы  $2\nu_1^2 + \nu_2^1 + \nu_3 - \nu_2^1$  с  $l \geq 42$  и найдено значение постоянной  $l$ -удвоения  $q(21^11) = (25,9 \pm 0,8) \cdot 10^{-5} \text{ см}^{-1}$ . М. Р. Алиев

1968

OCS

7701h Third order anharmonic resonance in carbonyl sulfide.  
 Fayt, A. (Centre Phys. Nucl. Mol., Heverlee-Louvain, Belg.).  
*Ann. Soc. Sci. Bruxelles., Ser. I* 1968, 82(1), 101-12 (Fr).  
 The data about the bands  $2\nu_1 + 2\nu_2$  and  $2\nu_1 + 4\nu_2$  of OCS are  
 completed. The 3rd order anharmonic resonance, depending  
 on  $k_{22223}$  equal to  $1.4446 \pm 0.0005 \text{ cm.}^{-1}$ , between the levels  
 $20^{\circ}1$ , and  $24^{\circ}1$  causes a perturbation of these levels. It is  
 necessary to include a term for the Coriolis interaction between  
 the levels  $24^{\circ}0$  and  $(20^{\circ}1, 24^{\circ}0)$  by resonance coupling of the  
 $l$  type. The consts. calcd. by successive approaches are shown;  
 from this, values of  $F(J)$  are calcd. The perturbation affects,  
 esp., the consts.  $B$  and  $D$ . Values are given for the transitions  
 in the following bands:  $30^{\circ}1 \leftarrow 10^{\circ}0$ ;  $10^{\circ}0 \leftarrow 00^{\circ}0$ ;  $21^{\circ}0 \leftarrow$   
 $01^{\circ}0$ ; and  $21^{\circ}1 \leftarrow 01^{\circ}0$ .  $q(01^{\circ}0) = 25.9 \pm 0.8 \times 10^{-5} \text{ cm.}^{-1}$

I. Vanderbranden.

чекерп.

с.н.

C.A. 1969. 70. 2

OCS

(C. A. 1968)

55812v Least-squares determination of the anharmonic potential constants of carbonyl sulfide. Morino, Yonezo; Nakagawa, Toru (Univ. Tokyo, Tokyo, Japan). *J. Mol. Spectrosc.* 1968, 26(4), 496-523. (Eng). Nineteen potential const.  $f$  in the internal-coordinate system up to the 4th-order for the OCS mol. were detd. by a least-sqs. anal. The observed vibrational frequencies  $\nu$  and the rotational const.,  $B_v$  of 6 isotopic mols. ( $^{16}\text{O}^{12}\text{C}^{32}\text{S}$ ,  $^{16}\text{O}^{12}\text{C}^{34}\text{S}$ ,  $^{16}\text{O}^{13}\text{C}^{32}\text{S}$ ,  $^{18}\text{O}^{12}\text{C}^{32}\text{S}$ ,  $^{16}\text{O}^{14}\text{C}^{32}\text{S}$ , and  $^{16}\text{O}^{12}\text{C}^{36}\text{S}$ ), 135 in total, were used as the observables in the calcn. The anal. was based on the 2nd-order perturbation theory except that the Fermi resonances between  $\nu_1$  and  $2\nu_2$  and between  $\nu_3$  and  $2\nu_2$  were dealt with by solving a secular equation. The perturbation in the  $(20^01)$  state of  $^{16}\text{O}^{12}\text{C}^{32}\text{S}$  observed by Triaille and Courtoy was indispensable in the vibrational and rotational anal. This perturbation was a 3rd-order anharmonic resonance coupled with the  $(24^00)$  state, which was estd. to lie  $\sim 4 \text{ cm.}^{-1}$  below the  $(20^01)$  state, by the interaction term  $|W_{12}| = 1.8 \text{ cm.}^{-1}$ . The observed values of  $\nu$  and  $B_v$  for many other states were cor. for this type ( $\omega_3 \sim 4\omega_2$ ) of resonance, and were used in the least-sqs. anal. 35 references.

RCKP

1028

669

XIX

C.A. 1968. 69. 14

1968

COS

8 Б347. Дипольный момент карбонилсульфида. Mu-  
enter John S. Electric dipole moment of carbonyl sul-  
fide. «J. Chem. Phys.», 1968, 48, № 10, 4544—4547 (англ.)

Методом электрич. резонанса определен дипольный  
момент карбонилсульфида COS. Полученное значение  
 $0,71521 \pm 0,00020 D$  не совпадает с известным значением  
 $0,7124 \pm 0,0002 D$ . Произведена оценка точности метода.  
Ю. В. К.

дип. момент

Л. 1969. 8

DCS

8 Б30. Определение ангармоничных потенциальных постоянных карбонилсульфида методом наименьших квадратов. Morino Yonezo, Nakagawa Toru. Least-squares determination of the anharmonic potential constants of carbonyl sulfide. «J. Molec. Spectrosc.», 1968, 26, № 4, 496—523 (англ.)

Построена ангармонич. потенциальная функция четвертого порядка для линейной трехатомной молекулы типа XYZ. Для определения 19 потенциальных постоянных по методу наименьших квадратов использовано 135 наблюденных значений колебательных частот  $\nu$  и вращательных постоянных  $B_v$ , 6 изотопных модификаций молекулы OCS:  $O^{16}C^{12}S^{32}$ ,  $O^{16}C^{12}S^{34}$ ,  $O^{16}C^{13}S^{32}$ ,  $O^{18}C^{12}S^{32}$ ,  $O^{16}C^{14}S^{32}$ ,  $O^{16}C^{12}S^{36}$ . Анализы основаны на теории возмущения второго порядка, за исключением случая резонанса Ферми, имеющего место между частотами  $\nu_1$  и  $2\nu_2$ ,  $\nu_3$  и  $2\nu_2$ .

Р. Ф.

м.п.

ж. 1969.8

XIV - 9787

1968

669 - 699

XIV - 9787

XIV - 9787

1968

OCS

потенц. ф-ция

2 Д152. Определение ангармоничных потенциальных постоянных карбонил-сульфида методом наименьших квадратов. Morino Yonezo, Nakagawa Toru. Least-squares determination of the anharmonic potential constants of carbonyl sulfide. «J. Molec. Spectrosc.», 1968, 26, № 4, 496—523 (англ.)

Построена ангармоническая потенц. ф-ция четвертого порядка для линейной трехатомной молекулы типа XYZ. Для определения 19 потенц. постоянных по методу наименьших квадратов использовано 135 наблюдаемых значений колебательных частот  $\nu$  и вращательных постоянных  $B_v$  шести изотопных модификаций молекулы OCS:  $O^{16}C^{12}S^{32}$ ,  $O^{16}C^{12}S^{34}$ ,  $O^{16}C^{13}S^{32}$ ,  $O^{18}C^{12}S^{32}$ ,  $O^{16}C^{14}S^{32}$ ,  $O^{16}C^{12}S^{36}$ . Анализы основаны на теории возмущения второго порядка, за исключением случая ре-

09.1969. 29

Ю Б  
Кул  
МЕТ

669

XIV

зонанса Ферми, имеющего место между частотами  $\nu_1$  и  $2\nu_2$ ,  $\nu_3$  и  $2\nu_2$ . Показано, что существующее в молекуле OCS возмущение высшего порядка в состоянии  $(20^{\circ}1)$  обусловлено ангармонич. резонансом третьего порядка типа  $\omega_3 \sim 4\omega_2$ , вызванным состоянием  $(24^{\circ}0)$ . Методом наименьших квадратов вычислены постоянные резонанса и все эксперим. данные исправлены с учетом резонанса. Дается анализ погрешностей в определении потенц. постоянных и их связь с погрешностями эксперим. данных. На основе полученных потенц. постоянных вычислены молекулярные константы  $\alpha_i$ ,  $\omega_i$ ,  $x_{ij}$ ,  $q_v$  и  $D_v$  для всех изотопозамещенных молекул. Определены параметры равновесной структуры (вращательные постоянные  $B_e$ ), а из них — равновесные длины связей:  $r_e(\text{CS}) = 1,5630 \pm 0,0002 \text{ \AA}$ ,  $r_e(\text{CO}) = 1,1545 \pm 0,0002 \text{ \AA}$ . Приводится упрощенная потенц. ф-ция. Все расчеты проводились на ЭВМ. Во всех случаях наблюдается согласие между вычисленными и наблюдаемыми значениями. В таблице занесены наблюдаемые и вычисленные частоты и вращательные постоянные, молекулярные константы основного состояния, равновесные вращательные постоянные, деформация  $q_e$  и центробежного искажения  $\rho_e$ .

Е. И. Креденцер

OCS

1968

7  
47117h Electric dipole moment of carbonyl sulfide. Muen-  
ter, John S. (Harvard Univ., Cambridge, Mass.). *J. Chem.*  
*Phys.* 1968, 48(10), 4544-7 (Eng). The elec. dipole moment  
of OCS has been detd. by measuring pure Stark transitions with  
mol.-beam elec. resonance methods. The value obtained is  
 $0.71521 \pm 0.00020$  D., which is in disagreement with a previous  
measurement of  $0.7124 \pm 0.0002$  D. RCJQ

g. unacc. b. h. i.  
f. no. acc. f.  
C.A. 1968. 69. 12

1968

OCS

квадрупольные молекулы

15666r Collision broadening of rotational absorption lines. III. Broadening by linear molecules and inert gases and the determination of molecular quadrupole moments. Murphy, Joseph S.; Boggs, James E. (Univ. of Texas, Austin, Tex.). *J. Chem. Phys.* 1968, 49(8), 3333-43 (Eng). A recently developed theory of the pressure broadening of microwave absorption lines resulting from transfer of rotational energy in mol. collisions has been applied to calcs. of the linewidth of rotational absorption lines of a no. of linear and symmetric-top mols. broadened by collisions with linear mols. and inert-gas atoms. In such cases, shorter-range forces such as dipole-quadrupole, quadrupole-dipole, quadrupole-quadrupole, and dispersion interactions are important as well as dipole-dipole interaction. In general, the agreement between the theoretical calcs. and previously reported measurements is quite satisfactory. The application of the exptl. technique as a method for detg. mol. elec. quadrupole moments is analyzed, and values for the mol. quadrupole moments of OCS, N<sub>2</sub>O, NO, CO<sub>2</sub>, N<sub>2</sub>, and H<sub>2</sub> are obtained from earlier data. RCJQ

C.A. 1969. 70. 4

+5

⊗

1968

OCS

62714q Stark modulation absorption system for high-temperature microwave spectroscopy. Murty, A. Narasimha; Curl, Robert F., Jr. (Rice Univ., Houston, Tex.). *Rev. Sci. Instrum.* 1968, 39(12), 1885-8 (Eng). A simple microwave absorption cell which can be operated at temps. to 1000° is diagrammed and described. The Stark septum is mounted without insulators inside the wave guide. Measurements of the OCS  $J = 1 \rightarrow 2$  transition before and after dismantling and after reassembling indicate the app. can be cleaned without changing the septum position.

FBJN

селектор

м.в.  
 селектор:  
 при 1000°

(+1) одес.

С.А. 1969. 70.14

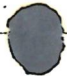


1988

OCS

19 Б421. Анизотропия магнитной восприимчивости  
 и квадрупольный момент молекулы  $O^{16}C^{12}S^{32}$ . Taft  
 Harrison, Dailey Benjamin P. Anisotropy in  
 the magnetic susceptibility and the molecular quadrupole  
 moment of  $^{16}O^{12}C^{32}S$ . «J. Chem. Phys.», 1968, 48, № 2,  
 597—599 (англ.)

Х. 1988. 19



1969

OCS

8 Д128. Влияние  $l$ -резонанса на центробежную постоянную линейной молекулы. Алиев М. Р. «Оптика и спектроскопия», 1969, 26, № 4, 640—642.

Методом возмущений во втором приближении выведены ф-лы для вклада  $\Delta D$  колебательно-вращательного  $l$ -резонанса в постоянную центробежного растяжения  $D$  линейной молекулы в вырожденном колебательном состоянии с произвольными  $\nu$  и  $l$ .  $\Delta D$  зависит от величины  $(q^2|x_{ll}-B)$  и от  $\nu$  и  $l$  ( $q$  — постоянная  $l$ -удвоения,  $B$  — вращательная постоянная,  $x_{ll}$  — постоянная ангармоничности). Вычислено приближенное значение  $x_{ll}-B \approx -1,9 \text{ см}^{-1}$  для молекулы OCS, которое приводит к удовлетворительному качественному согласию между вычисленными и опытными значениями величин  $\Delta D_i$  для ряда уровней типа  $(\nu_1 2^0 \nu_3)$  и  $(\nu_1 4^0 \nu_3)$  этой молекулы.

Автореферат

ф. 1969

89

[BP-XIV 1048]

1969

OCS (Yi)

Arnold, S. J., Kimbell G. H.,  
Chem. Phys. Letters, 1969, 3, N7,

469-472

NOV 6 1969

10

1969

OCS

10 Д306. Уширение линий молекулы OCS в микроволновой области при низких давлениях. Battaglia A., Cattani M., Tarrini O. Line broadening of OCS in the microwave region at low pressures. «Nuovo cimento», 1969, B61, № 1, 193—198 (англ.; рез. итал., русск.)

В микроволн. области измерена ширина линий молекулы OCS при комнатной т-ре и низких давлениях. Использован обычный видеоспектрометр с применением энантропной техники. Анализированы вращательные переходы 1→2, 2→3, 3→4, 4→5, 5→6, и 9→10. Проведено сравнение предсказаниями модифицированной теории Андерфона — Тцао — Курню. Получено хорошее соответствие между теорией и экспериментом.

ф. 1969. 10 Д

1969

OCS

8228s Line broadening of carbonyl sulfide in the microwave region at low pressures. Battaglia, Arrigo; Cattani, M.; Tarrini, O. (Univ. Pisa, Pisa, Italy). *Nuovo Cimento B* 1969, 61(1), 193-8 (Eng). The linewidths of OCS were measured in the microwave region at low pressures and room temp. by applying the enancetron technique to a video spectrometer. The rotational transitions  $1 \rightarrow 2$ ,  $2 \rightarrow 3$ ,  $3 \rightarrow 4$ ,  $4 \rightarrow 5$ ,  $5 \rightarrow 6$ , and  $9 \rightarrow 10$  were analyzed and compared with the predictions of a modified Anderson-Tsao-Curnutte theory. Good agreement was obtained between theoretical and exptl. results taking into account dipole-dipole, dipole-quadrupole, and quadrupole-quadrupole interactions. To obtain good agreement between exptl. and theoretical results, the quadrupole of OCS was assumed to be  $1.35 \times 10^{-26}$  esu. RCNR

u.b.  
clemis

C.A. 1969. H.2

OCS

1969

4 Д453. Вращательный спектр OCS в области 2,5 мм.  
B. attaglia A., Boudouris G. Spectre rotationnel  
de l'OCS dans la bande de 2,5 mm. «Lettere Nuovo ci-  
mento», 1969, 2, № 11, 515—518 (франц.)

Получен спектр поглощения в микроволн. области  
( $\nu \sim 120\,000$  МГц) линейной молекулы OCS. Исследован  
вращательный переход  $J=9 \rightarrow 10$  для основного колеба-  
тельного состояния ( $\nu_1=0, \nu_2=0, \nu_3=0$ ) и возбужден-  
ных состояний (100), (01<sub>1</sub>'0), (01<sub>2</sub>'0) и (02°0). Обнару-  
жен резонанс Ферми между уровнями (100) и (02°0) и  
рассчитаны сдвиги уровней. Вычисленные вращательные  
и колебательно-вращательные постоянные сравниваются  
с данными других авторов. Библ. 13. Л. Щерба

М.И.

09.19.10. 478

1969

OCS

Spary.  
chemp.  
H.N.

17024v Rotational spectrum of the OCS molecule in the 2.5-mm band. Battaglia, Arrigo; Boudouris, G. (Univ. Pisa, Pisa, Italy). *Lett. Nuovo Cim.* 1969, 2(11), 515-18 (Fr). The rotational-vibrational absorption spectrum of linear OCS mols. (300°K at pressures of 10  $\mu$ -0.5 mm) was investigated at a microwave frequency of 120,000 MHz which corresponds to the  $J = 9 \rightarrow 10$  rotational transition of the fundamental vibrational state (000). The vibrational const.  $\alpha_2 = -10.55$  MHz, const. of the type  $l$  splitting  $q_1 = 6.31$  MHz, and Fermi displacement  $-48.93$  MHz were detd. Max. absorption for the (000) lines was  $38 \times 10^{-4} \text{ cm}^{-1}$  which is smaller than that calcd.,  $49 \times 10 \text{ cm}^{-1}$ . Ratios of max. absorption of the (01 $\frac{1}{2}$ 0) and (01 $\frac{1}{2}$ 0) lines to that of (000) was 0.08 and agrees well with the calcd. value 0.079. Literature values for the spectral consts. of OCS are discussed.

FBI F

C.A. 1970. 79.4

COS

1969

105842r Reactions of sulfur atoms produced by photolysis of carbonyl sulfide. Breckenridge, William H., Jr. (Stanford Univ., Stanford, Calif.). 1969, 142 pp. (Eng). Avail. Univ. Microfilms, Ann Arbor, Mich., Order No. 69-13,929. From *Diss. Abstr. Int. B* 1969, 30(3), 1063.

SNDC

gponorus

C.A. 1970.72.10

COS

Brendee C. R.  
Turner J. W.

1969

Y

Internat. J. Mass.  
Spectrom. and Ion Phys.  
1969, 2. No, 195-220

(Cer. N<sub>2</sub>O) III

1969

CO<sub>2</sub>

Collin Y. E.,  
Natalis P.

8i

Bull. Cl. Sci., Acad. Roy.  
Belg, 1969, 55, N 4, 352.  
Determination of electro-  
nic states and of vibratio-  
nal levels of molecular  
ions by photoelectron  
spectroscopy (CuNO) III

OCS

Коэффициент  
поглощения

1 Д291. Коэффициенты поглощения и фотоионизации молекулы OCS. Cook G. R., Ogawa M. Photoionization and absorption coefficients of OCS. «J. Chem. Phys.», 1969, 51, № 2, 647—652 (англ.)

1989

В области 600—960 Å измерены коэф. поглощения и фотоионизации OCS. В качестве источника использован гелиевый континуум Хопфилда. Каждая полоса «чисто эмиссионной серии», сходящейся в области 17,931 эв, сопровождается максимумом поглощения в длинноволн. области и, т. обр., представляет типичную форму Фано для преионизационного процесса. Оценены величины коэф. поглощения и фотоионизации континуума-фона спектра поглощения для его ионизационной и диссоциационной частей. Определена относит. интенсивность флуоресценции во всей области континуума Хопфилда. Положение полос поглощения серии Ридберга, сходящейся в области 16,038 эв, совпадает с пиками в спектре флуоресценции. Максимум континуума-фона флуоресценции лежит в области 810 Å. Библ. 15. Резюме

ф. 1970. 12

OCS

Costain C. C.

1969

931

"Can. J. Phys"

(encrip)

1969, 47, N21, 2431-33.

The use of saturation dip absorption  
in microwave spectroscopy and  
in microwave frequency stabiliza-  
tion

XIV-1307

1969

OCS'

Davies P. R.  
Orville - Thomas W. J.

u.k.

J. Molec. Struct., 3, v4-5,  
436.

Молекулярные пара-  
метры и структура  
связей. Ч. 9. Связи час-  
тот раз-мягкость в

линейных прекатом-  
ных соединений X

(см.  $CS_2$ ) III

1969

Davies P. R.,  
Orville - Thomas W. J.

N. Moh. Street, 4 (2-4),  
J. 163.

(coll. CO<sub>2</sub>) III

OCS

Green  
Chick

coll. loc. III

OCS

gen.  
moment

34325r Determination of the dipole moment of OCS with a microwave absorption cavity. Dijkerman, H. A.; Ruitenberg, G. (Rijks-Univ., Utrecht, Neth.). *Chem. Phys. Lett.* 1969, 3(3), 172-4 (Eng). Since the dipole moment of OCS is frequently used as a standard in microwave spectroscopy, it seemed worthwhile to measure it again with an independent method and different app. A resonance cavity was used as an absorption cell. The essential features of this cavity, designed for precision measurements on the Stark effect of microwave absorption lines, are: (a) an accurate detn. of the height of the cavity (and thus of the distance between the Stark electrodes) is possible, since resonances corresponding to several modes can be observed by adjusting the plunger of the cavity and reading its position on a precision dial; (b) the homogeneity of the Stark field ( $D = 150$  mm.,  $H \approx 10$  mm.) prevents strong broadening of the Stark component. The frequency of the reflex klystron (OKI-24V10A) used in the expt. was stabilized with the aid of a frequency generator and a discriminator. The result (after averaging with a weighting factor) is  $\mu_{\text{OCS}} = 0.7149 \pm 0.0003$  D.; this agrees well with dipole-moment data obtained in elec. resonance beam expts.

Raylene Adams Coad

C.A. 1969. H. 8

3961

1969

COS

7 Б189. Спектр флуоресценции, полученный при возбуждении COS в вакуумной ультрафиолетовой области. Judge D. L., Ogawa M. Fluorescence spectra resulting from vuv photon impact on COS. «J. Chem. Phys.», 1969, 51, № 5, 2035—2036 (англ.)

В области 3500—6000 А исследован спектр флуоресценции газа COS при возбуждении молекул COS фотонами с  $\lambda=923, 801, 790, 769$  и  $609$  А. При облучении COS фотонами с  $\lambda=923$  А наблюдалась широкая полоса со сложной структурой. Эта полоса отнесена к нейтр. продуктам преддиссоциации, т. к. энергии фотонов с  $\lambda=923$  А недостаточно для возбуждения уровня  $A^2\Pi$  COS+. При облучении COS на остальных длинах волн наблюдалась система полос перехода  $A^2\Pi-X^2\Pi$  иона COS+, состоящая гл. обр. из прогрессии  $v_1^1=0$ . Отсутствие прогрессий с  $v_1^1>0$  интерпретировано преддиссоциацией ионов COS+ из состояний  $A^2\Pi, v_1^1>0$  на  $CO(X^1\Sigma^+)$  и  $S^+(^2D^0)$ .  
М. Р. Алиев

спектр

X. 1970. 7

OCS

1969

Lojko M.S.,  
Beers V.

Sp. noem.

Y. Res. Nat. Beer. Stand.,

A73, N2, 233.

(Ces. H<sub>2</sub>O) III

1969

OCS

Uchida K.,  
Oreend S.

J. Chem. Phys, 1969,

50, n 10, 4429

(Cell. CO<sub>2</sub>) III



cell. CO<sub>2</sub>

1969

OCS

Morino A.

Pure and Appl. Chem.,  
18, N 3, 323.

Сул. и.

и. и.

коэф. анал.  
модуль стн;

(Сул. O<sub>3</sub>) III



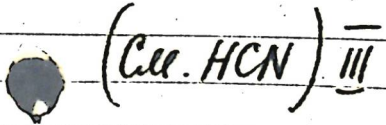
1969

OCS'

Накагава Т.,  
Мочино У.

расчет  
g; D<sub>01</sub>  
и-ноетт.  
уейтроб. рает.

J. Molec. Spectrosc.,  
1969, 31, v2, 208



DCS

Rowen J. P.,  
Damany N.,  
Vodar B.

1969

Chem. Phys.  
Letters, 3,  
6 (1969)

Chem. Phys. Letters, 3,  
N 4, 197.

(see CS<sub>2</sub>) III

1969

OCS-

Saxena M.K.

pacem

Indian J. Pure

and Appl. Phys, 1969,

4, n 12, 828

(All Jce) III

SCOS

Вар - 2178 - XIV

1969

(Сил. конст.)

(г.ар.)

10 Д127. Валентные силовые постоянные, средние амплитуды колебаний и термодинамические функции сернистого карбонила. Shanmugasundaram G. Valence force constants, mean amplitudes of vibration, and thermodynamic functions of carbonyl sulphide. «Acta phys. polon.», 1969, 35, № 3, 483—486 (англ.)

Из литературных данных о частотах основных колебаний и структурных параметрах вычислены валентные силовые постоянные  $f_r=15,33$ ,  $f_R=7,84$ ,  $f_{rR}=1,76$  и  $f_0=0,16 \cdot 10^5$  дн/см, среднеквадратичные амплитуды колебаний при комнатной т-ре  $\sigma_r=0,00128$ ,  $\sigma_R=0,00168$ ,  $\sigma_{rR}=0,00066$  и  $\sigma_0=0,0199$  Å<sup>2</sup>, и термодинамич. ф-ции (энтальпия, энтропия и теплоемкость) в приближении гармонич. осциллятора и жесткого волчка при т-рах 200—2000° К. М. Р. Алиев

(+ Ш. м. г.)

ф. 1969. 10А

X

OCS

УИ-45

1969

УД 178. Вычисление квадратичных силовых постоянных для молекул сероокиси углерода (I). Vanden-haute R. Détermination des constantes quadratiques de la molécule d'oxysulfure de carbone I. «Ann. Soc. sci. Bruxelles», 1969, Sér. 1, 83, № 3, 375—387 (франц.)

Для расчета частот норм. колебаний молекул необходимо знать все элементы матрицы силовых коэф.  $F$  в исходном вековом уравнении  $(GF - \lambda E) = 0$ . На примере молекулы сероокиси углерода OCS, для которой неизвестны значения силовых констант  $f_{CO}$ ,  $f_{CS}$  и  $f_{OCS}$ , рассмотрена обратная задача — полное определение матрицы  $F$  с помощью оценки недостающих значений  $f$  тремя различными методами: 1. Привлечение данных по частотам норм. колебаний изотопозамещенной молекулы  $O^{16}C^{13}S^{32}$ .

см. лист.

ф. 1970.

72

2. Учет анигармоничности колебаний и их взаимодействия с вращением молекулы. В результате для определения элементов матрицы  $F$  появляется возможность использования известных значений констант центробежно-го искажения и резонансного расщепления, а также значений коэф. кориолисова взаимодействия; 3. Упрощение матрицы  $L$ , связанной с матрицей  $G$  соотношением  $LL = G$ , предполагая выполнение ряда математич. условий для ее матричных элементов.

Ю. Удачин

COS

XIV-1342, XIV-45

1969

40146r Determination of the four force constants of the carbon oxysulfide molecule. Vandenhoute, R. (Belg.). *Ann. Soc. Sci. Bruxelles, Ser. 1* 1969, 83(3), 375-87 (Fr). The terms of the force const. matrix for the COS mol. cannot be detd. from the fundamental frequencies of the 4 normal modes of vibration alone. Three different methods were used to find the terms of the matrix: (1) Use of the fundamental frequencies of an isotopic mol. of the form  $^{16}\text{O}^{13}\text{C}^{32}\text{S}$ ; (2) Use of the centrifugal distortion const.,  $D_e$ , and (or) the splitting const.  $Q_e$  of the normal mol., which is calcd. by assuming that the coupling is due to Coriolis interaction; (3) Imposition of certain math. restrictions on the matrix elements.

B. M. MacGarry

Chem. N.

C. A. 1970. 73. 8